

Tafel VIII.
Trilobiten.

- Fig. 1. *Isotelus robustus*. S. 66.
- Fig. 2. *Chasmops conicophthalmus*. S. 70.
- Fig. 3. *Illaenus crassicauda*. S. 69.
- Fig. 4. *Illaenus grandis*. S. 69.
- Fig. 5. *Asaphus expansus*. S. 68.
- Fig. 6. *Calymene pediloba*. S. 74.
- Fig. 7. *Encrinurus multisegmentatus*. S. 75.
- Fig. 8. *Lichas angusta*. S. 76.
- Fig. 9. *Ceraurus ornatus*. S. 78.
- Fig. 10. *Ceraurus* sp.? S. 78.
- Fig. 11. *Proetus concinnus*. S. 73.

LAPIDOMANEN

STENVENNERNE - KØBENHAVNS AMATØRGEOLOGISKE FORENING
FOSSILGUIDE KOPI AF GAMLE TYSKE AFHANDLINGER, SÆRNUMMER 2010

PALÆONTOLOGISCHE ABHANDLUNGEN.

HERAUSGEGEBEN

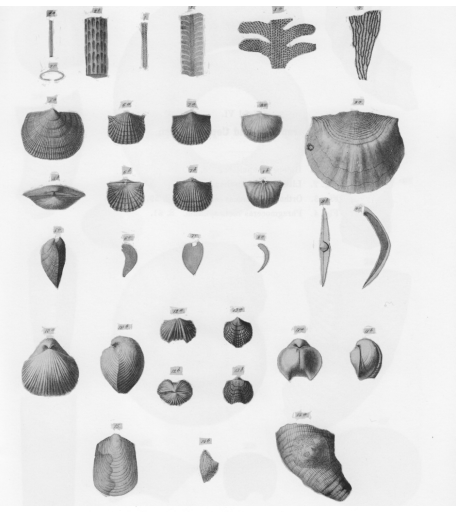
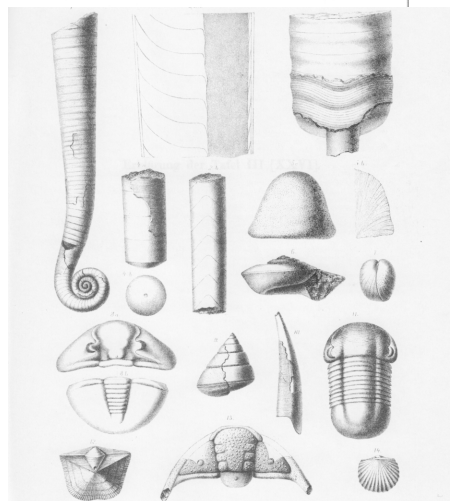
VON

W. DAMES und E. KAYSER.

ZWEITER BAND.

MIT 24 TAFELN UND 8 HOLZSCHNITTEN.

BERLIN
DRUCK UND VERLAG VON GEORG REIMER
1894-1895.



DE

FOSSILE FAUNA
SILURISCHEN DILUVIAL-GESCHIEBE

SADEWITZ BEI OELS
IN MECHE-SCHLESIEN.

EINE PALÆONTOLOGISCHE MONOGRAPHIE

DR. FERDINAND ROEMER

DRUCK UND VERLAG VON GEORG REIMER
1854.

MIT 100 LITHOGRAPHIERTEN UND ZWEI KUPFER-TAFELN.

J. REICHL
DRUCK VON WILHELM PIRCHOWSKY
1854.

PALÆONTOLOGISCHE ABHANDLUNGEN

HERAUSGEGEBEN VON

W. DAMES UND E. KAYSER.

ZWEITER BAND. HEFT 5.

LETHAEA ERRATICA

ODER

AUFZÄHLUNG UND BESCHREIBUNG DER IN DER NORDDEUTSCHEN
EBENE VORKOMMENDEN DILUVIAL-GESCHIEBE NORDISCHER
SEDIMENTÄR-GESTEINE.

VON

FERDINAND REIMER.

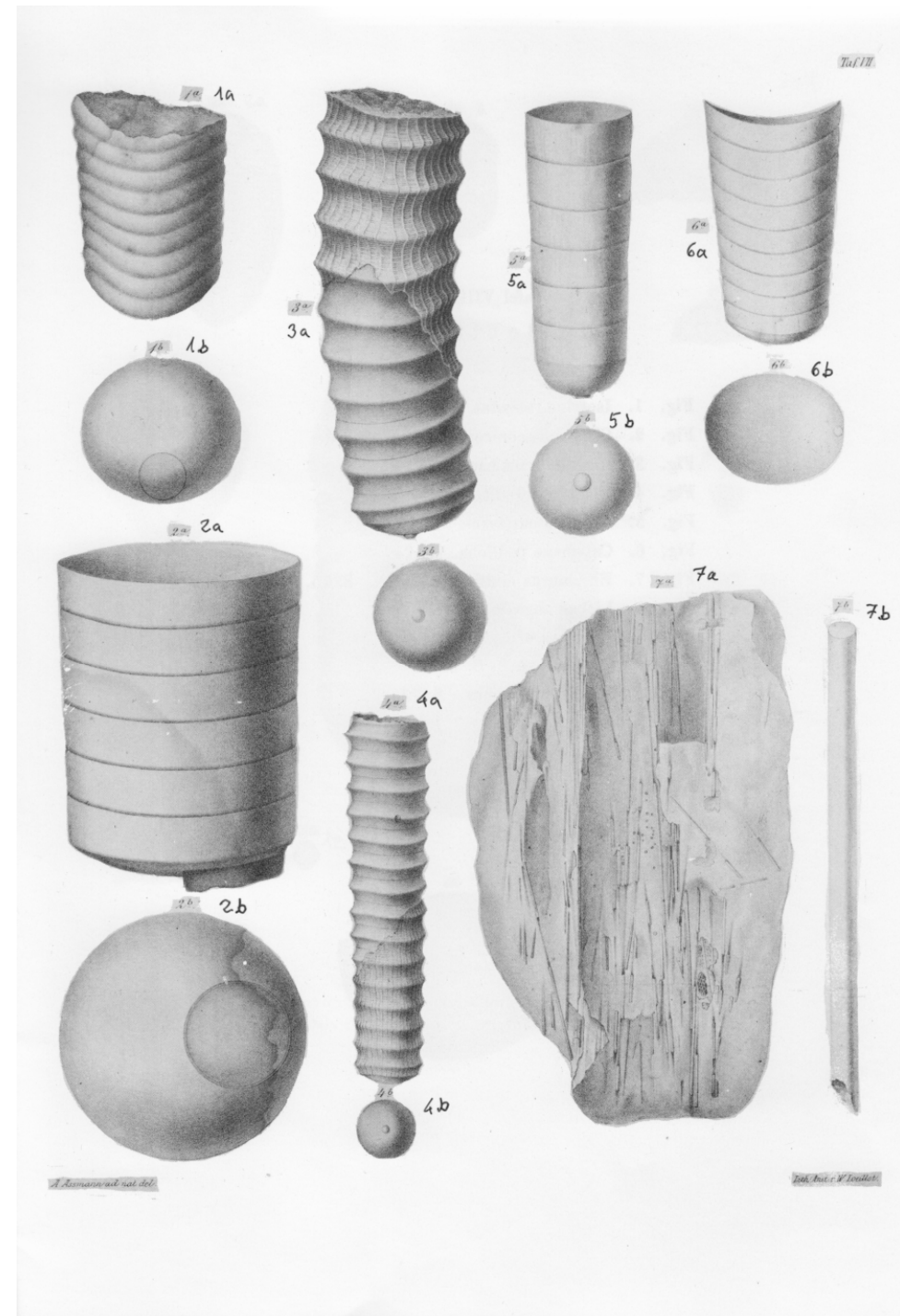
MIT 11 TAFELN UND 3 HOLZSCHNITTEN.

B E R L I N.

DRUCK UND VERLAG VON GEORG REIMER.

1885.

Illustrationer se siderne 4 – 25



Tafel VII.
Cephalopoden und Pteropoden.

- Fig. 1. Orthoceras vaginatum. S. 61.
- Fig. 2. Orthoceras duplex. S. 60.
- Fig. 3. Orthoceras textum-araneum. S. 58.
- Fig. 4. Orthoceras clathrato-annulatum. S. 57.
- Fig. 5. Orthoceras regulare? S. 57.
- Fig. 6. Orthoceras sinuoso-septatum. S. 59.
- Fig. 7. Acestra subularis. S. 55.

DIE
FOSSILE FAUNA
 DER
SILURISCHEN DILUVIAL-GESCHIEBE

VON

SADEWITZ BEI OELS
 IN NIEDER-SCHLESIEN.

EINE PALAEONTOLOGISCHE MONOGRAPHIE

VON

DR. FERDINAND ROEMER,

ORDENTL. PROFESSOR DER MINERALOGIE AN DER KOENIGL. UNIVERSITÄT, SEKRETÄR DER NATURHISTORISCHEN SEKTION DES SCHLESIISCHEM
 GESELLSCHAFT FÜR VATERLÄNDISCHE KULTUR.

MIT SECHS LITHOGRAPHISCHEN UND ZWEI KUPFER-TAFELN.

BRESLAU,
 DRUCK VON ROBERT NISCHKOWSKY.
 1861.

Nachdruck der 8 Tafeln 1974

Cambrisch.

Fig. 1. Solutien-Sandstein. Kleines Bruchstück von Nieder-Kunzendorf in Schlesien (pag. 22 [269]).

Fig. 2a. Gesteinsstück von festem grauen Sandstein mit *Obolus Apollinis* EICHW. von Lyck in Ost-Preussen; 2b. *Obolus Apollinis* grössere Klappe von aussen; 2c. von innen; 2d. kleine Klappe von innen (pag. 23 [270]).

Fig. 3. *Paradoxides Oelandicus* SJÖGREN, Glabella und feste Wangen, nach dem Gutta-Percha-Abdruck eines Geschriebes von Eberswalde (pag. 24 [271]).

Fig. 4. Gesteinsstück von festem grauen Sandstein mit Fragmenten von *Paradoxides Tessini* ANGELIN von Nieder-Kunzendorf bei Freiburg (pag. 29 [276]).

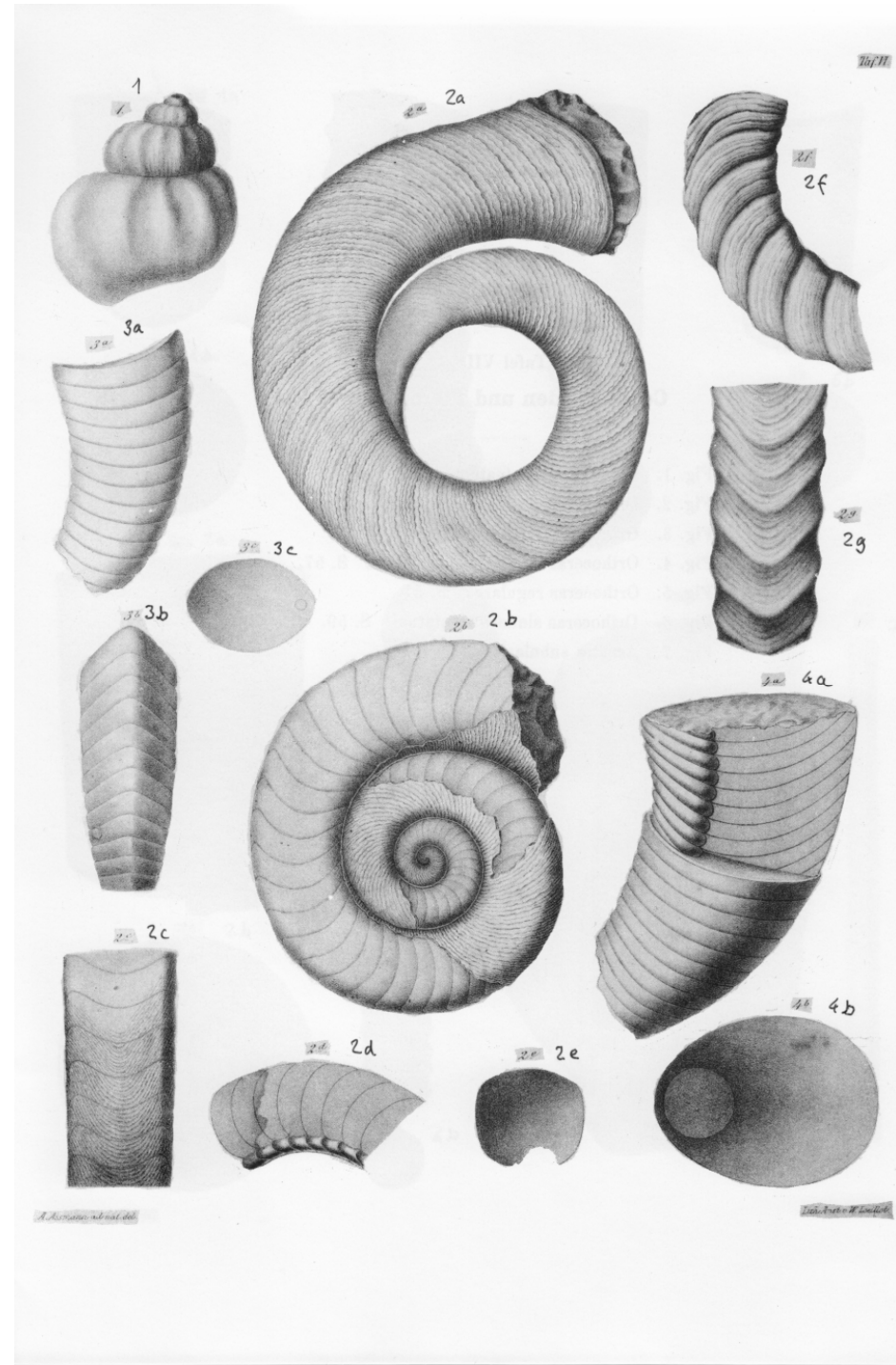
Fig. 5a. Stinkkalk mit *Agnostus laenigatus* ANGELIN von Kleinburg bei Breslau; 5b. *Agnostus laevigatus* Kopfschild, vergrössert; 5c. natürliche Grösse; 5d. Pygidium vergrössert (pag. 31 [278]).

Fig. 6a. Schwarzer Stinkkalk mit *Agnostus pisiformis* BAONES. von Rostock; 6b. *Agnostus pisiformis* vergrössert; 6c. natürliche Grösse (pag. 32 [279]).

Fig. 7a. Grauer Stinkkalk mit *Peltura scarabaeoides* M. EDWARDS; 7b. *Peltura scarabaeoides*, Kopfschild, Rumpfsegment und Pygidium vergrössert, daneben Angabe der natürlichen Grösse (pag. 34 [281]).

Fig. 8a. Vergrössertes Kopfschild von *Parabolina spinulosa* ANGELIN; 8b. vergrössertes Pygidium (pag. 33 [280]).

Fig. 9a. Grauer Stinkkalk mit *Ottis lenticularis* SALTER von Meseritz in der Provinz Posen; 9b. die durchbohrte Klappe vergrössert; 9c. Ansicht gegen die undurchbohrte Klappe vergrössert (pag. 33 [280]).



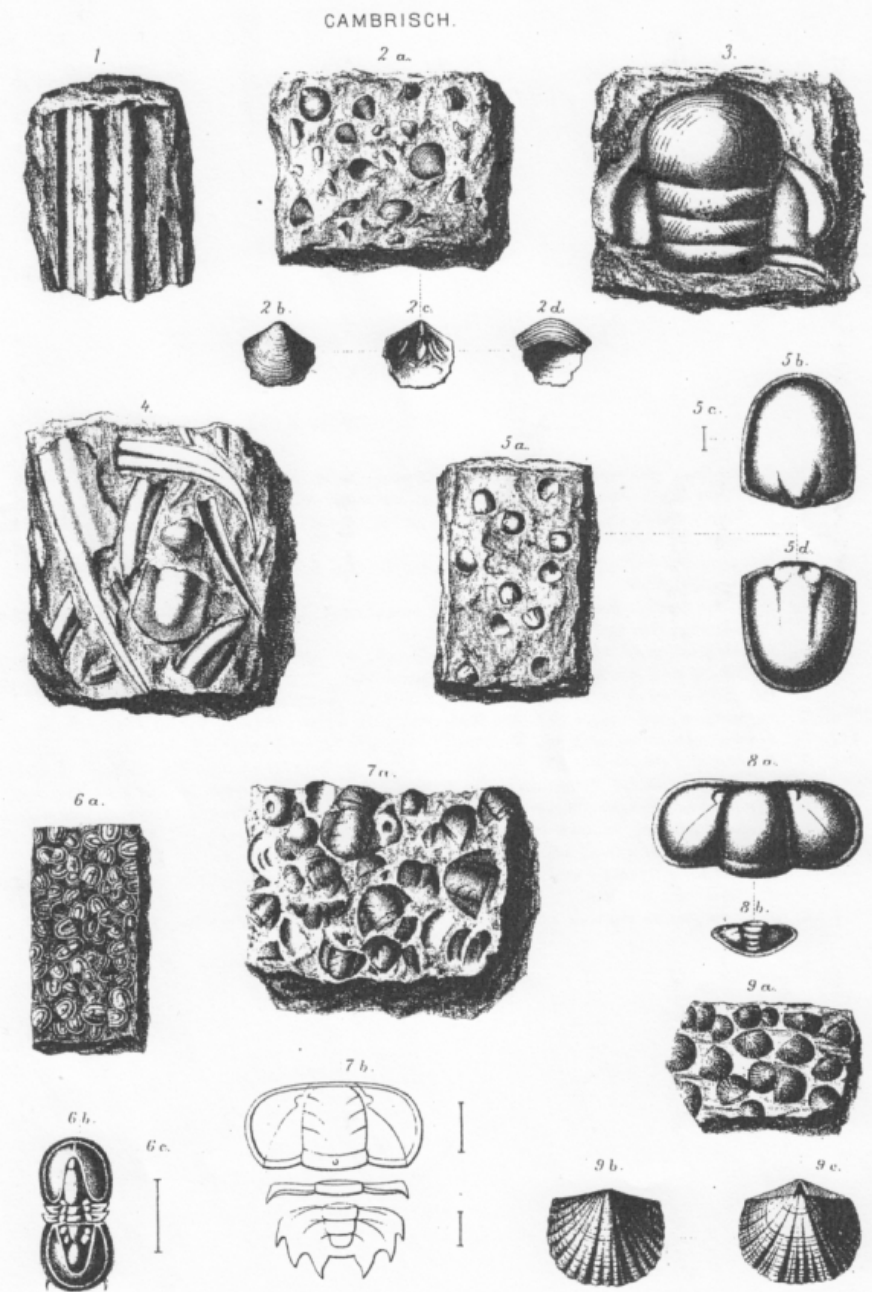
Tafel VI.

Gasteropoden und Cephalopoden.

- Fig. 1. Holopea ampullacea. S. 51.
 Fig. 2. Lituites antiquissimus. S. 62.
 Fig. 3. Orthoceras sinuoso-septatum. S. 59.
 Fig. 4. Phragmoceras rectiseptatum. S. 61.

F. Roemer, Lethaea erratica.

Tafel I.



Orthoceren-Kalk.

Fig. 1. *Lituites lituus* MONTFORT mit zum Theil erhaltenen Schale.
 Fig. 2a. *Orthoceras (Endoceras) duplex* WAHLBERG, senkrechter Durchschnitt durch ein Stück des Gehäuses, um die Höhe d Kammerwände und die Dicke des Siphos zu zeigen, der Durchschnitt durch den Siphon ist dunkel schraffirt; 2b. e Stück des Siphos.

Fig. 3. *Orthoceras (Endoceras) vaginatum* SCHLOTH. von Reval. Ein Fragment mit theilweise erhaltenem Schale und unten vorragendem Siphon.

Fig. 4a. *Orthoceras regulare* SCHLOTH., ein Theil des gekammernten Gehäuses mit theilweise erhaltenem Schale; 4b. eine Kammerwand mit dem centralen Siphon.

Fig. 5a. *Monticulipora petropolitana* M. EDWARDS et HAIME, der Korallenstock von der Seite; 5b. ein Stück im senkrechten Durchschnitt mit den ausstrahlenden Röhrenzellen.

Fig. 6. *Pleurotomaria ovaliflata* WAHLENBERG sp. (*Eucamphalus guadalupensis* KLÖDEN) von Breslau.

Fig. 7. *Porambonitis aequirostris* D'ORB. von Meseritz in der Provinz Posen, Ansicht von der Seite.

Fig. 8a. *Aesopha expansus* DALMAN von Nieder-Kunzendorf bei Freiburg in Schlesien, Kopfschild; 8b. Schwanzschild. Fig. 9. *Pleurotomaria elliptica* FRIEDR. SCHMIDT von Lyck in Ost-Preussen. Ein Theil der Schale mit den schief rückwärts gewendeten Anwachtringen ist erhalten. Der Schlitz lag nahe der Kante der Umgänge.

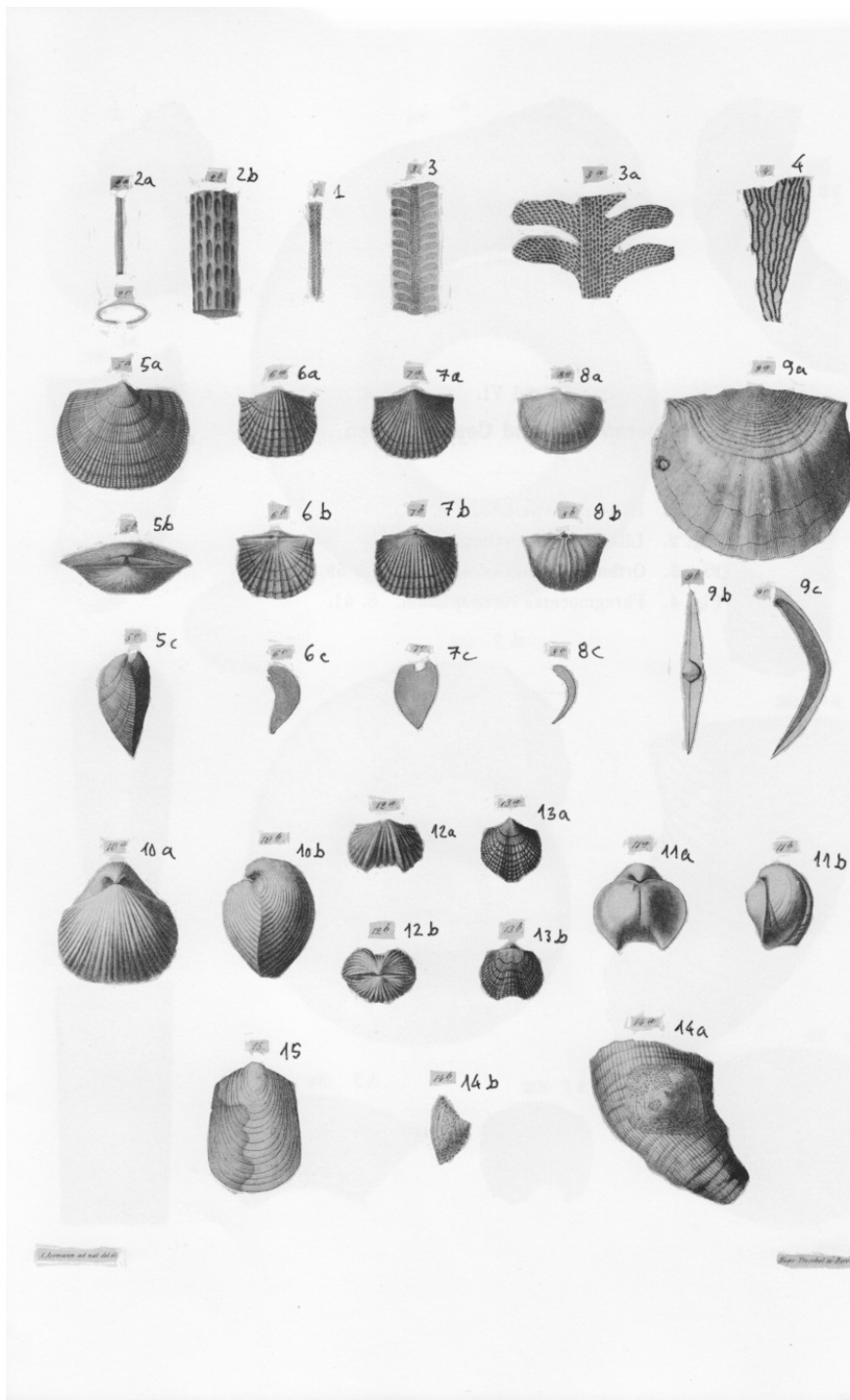
Fig. 10. *Holothes acutus* EICHW. (*Pugnunculus virginicus* QUENSTEDT) von Rostock mit theilweise erhaltenem Schale; Seitenansich

Fig. 11. *Illanenus crassicauda* DALMAN von Nieder-Kunzendorf bei Freiburg.

Fig. 12. *Orthisina anomala* D'ORB., schief gegen die Aera gesehen, von Rostock.

Fig. 13. *Ceratus exsul* BEYRICH von Neu-Strelitz in Mecklenburg; Kopfschild; die fehlenden Wangenschilder sind ergänzt Kopie nach BEYRICH.

Fig. 14. *Orthis collaris* DALMAN von Meseritz; Ansicht gegen die undurchbohrte Klappe.



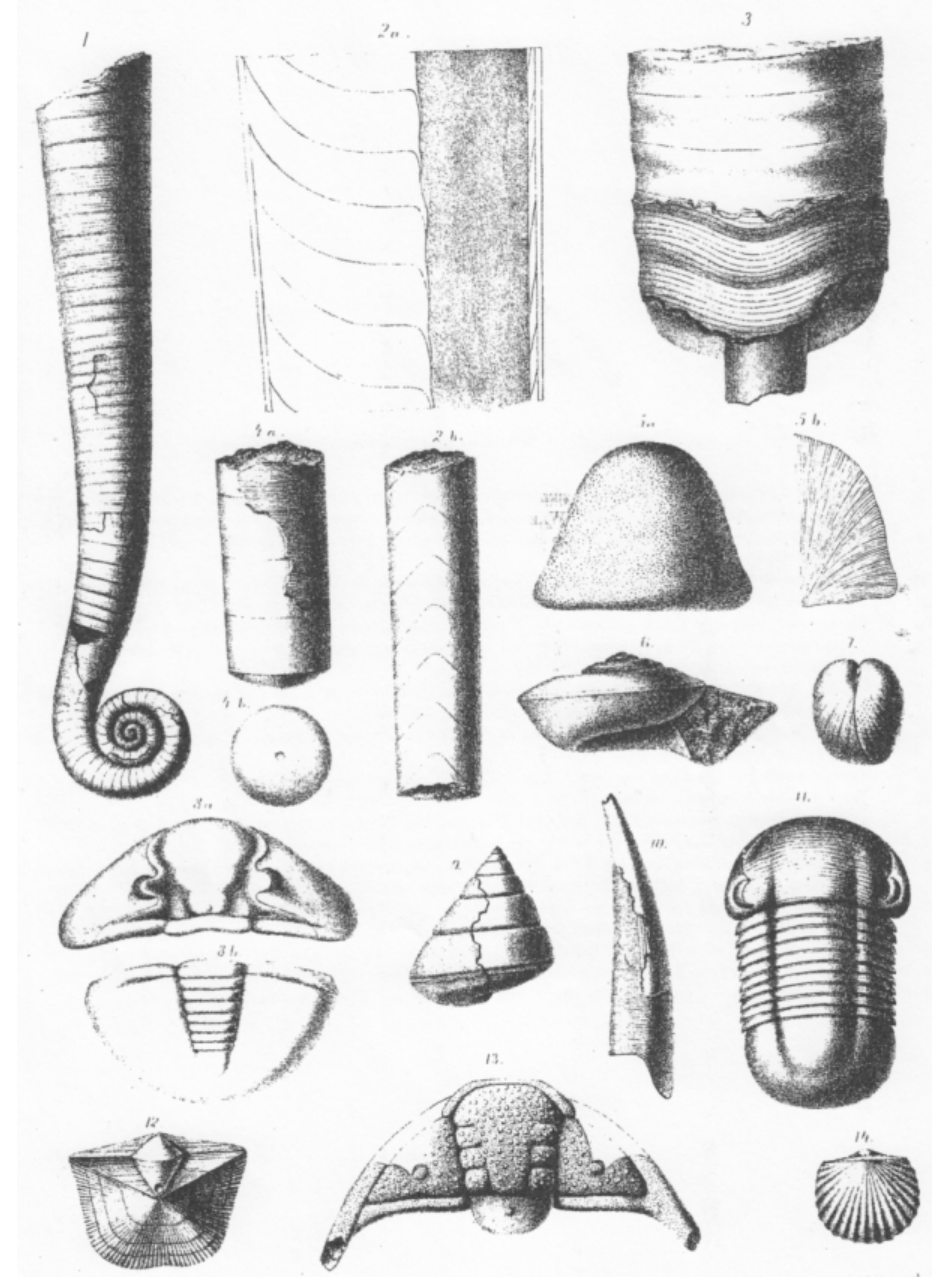
Tafel V.

Graptolithinen, Bryozoen und Brachiopoden.

-
- Fig. 1. Retiolites gracilis. S. 31.
 Fig. 2. Helopora scalpelliformis. S. 34.
 Fig. 3. Ptilodictya pinnata. S. 35.
 Fig. 4. Dictyonema flabelliforme. S. 32.
 Fig. 5. Orthis solaris. S. 38.
 Fig. 6. Orthis Oswaldii. S. 40.
 Fig. 7. Orthis Sadewitzensis. S. 37.
 Fig. 8. Leptaena sericea. S. 41.
 Fig. 9. Leptaena semipartita. S. 43.
 Fig. 10. Pentamerus juglans. S. 48.
 Fig. 11. Spirifer insularis. S. 45.
 Fig. 12. Platystrophia lynx. S. 44.
 Fig. 13. Atrypa marginalis var. S. 47.
 Fig. 14. Crania papillata. S. 48.
 Fig. 15. Lingula quadrata. S. 49.
-

F. Roemer, Lethaea erraticica.

ORTHOCEREN-KALK.



Tafel II.

Backstein-Kalk.

Fig. 1. *Coelosphaeridium cyclocrinophyllum* FERD. ROEMER von Weiss-Leipe in Schlesien; Gesteinstück mit zwei in der Mitte durchbrochenen Exemplaren; das obere mit dem centralen kugeligen Körper, das untere ohne denselben (pag. 57 [304]).

Fig. 2. ? *Cyclocriinus Spaskii* EICHWALD, loses, aus bläulich-weissem Chaledon bestehendes Geschiebe von Lyck in Ost-Preussen (pag. 56 [303]).

Fig. 3a. *Cyclocriinus Spaskii* EICHWALD von Weiss-Leipe bei Jauer in Schlesien, Ansicht eines Stückes der concaven Fläche im Gestein; 3b. ein Stück der convexen Fläche; 3c. die letztere vergrößert (pag. 56 [303]).

Fig. 4. *Spiriplasma europeum* FERD. ROEMER von Weiss-Leipe bei Jauer in Schlesien (pag. 58 [305]).

Fig. 5. *Eccilionophthalus atlatus* FERD. ROEMER, Steinkeim in strohgelbem, porösem Gestein von Weiss-Leipe in Schlesien, von der Unterseite gesehen (pag. 52 [299]).

Fig. 6a. *Pseudocrania depressa* EICHWALD von Weiss-Leipe, Ansicht eines grossen Exemplars von aussen; 6b. Ansicht des Abdurcks der Innenfläche desselben Exemplars (pag. 54 [301]).

Fig. 7a. *Platyptoria lynx* EICHWALD von Mesaritz in der Provinz Posen, Steinkeim; 7b. ein loses verkieseltes Exemplar von Nieder-Kunzendorf (pag. 53 [300]).

Fig. 8. *Chasmops macrurus* ANGELIS, Kopfschild (pag. 51 [298]).

Fig. 9. *Cybele bellula*? FRIEDR. SCHMIDT, Kopfschild aus einem Geschiebe von Meseritz (pag. 52 [299]).

Fig. 10. *Orthoceras clathratum annulatum* FERD. ROEMER, Fragment von Leipe in Nieder-Schlesien (pag. 52 [299]).

Fig. 11a. *Crinoidesrum genus?* Bruchstück der Säule; 11b. Gelenkfläche eines Säulengliedes (pag. 55 [302]).

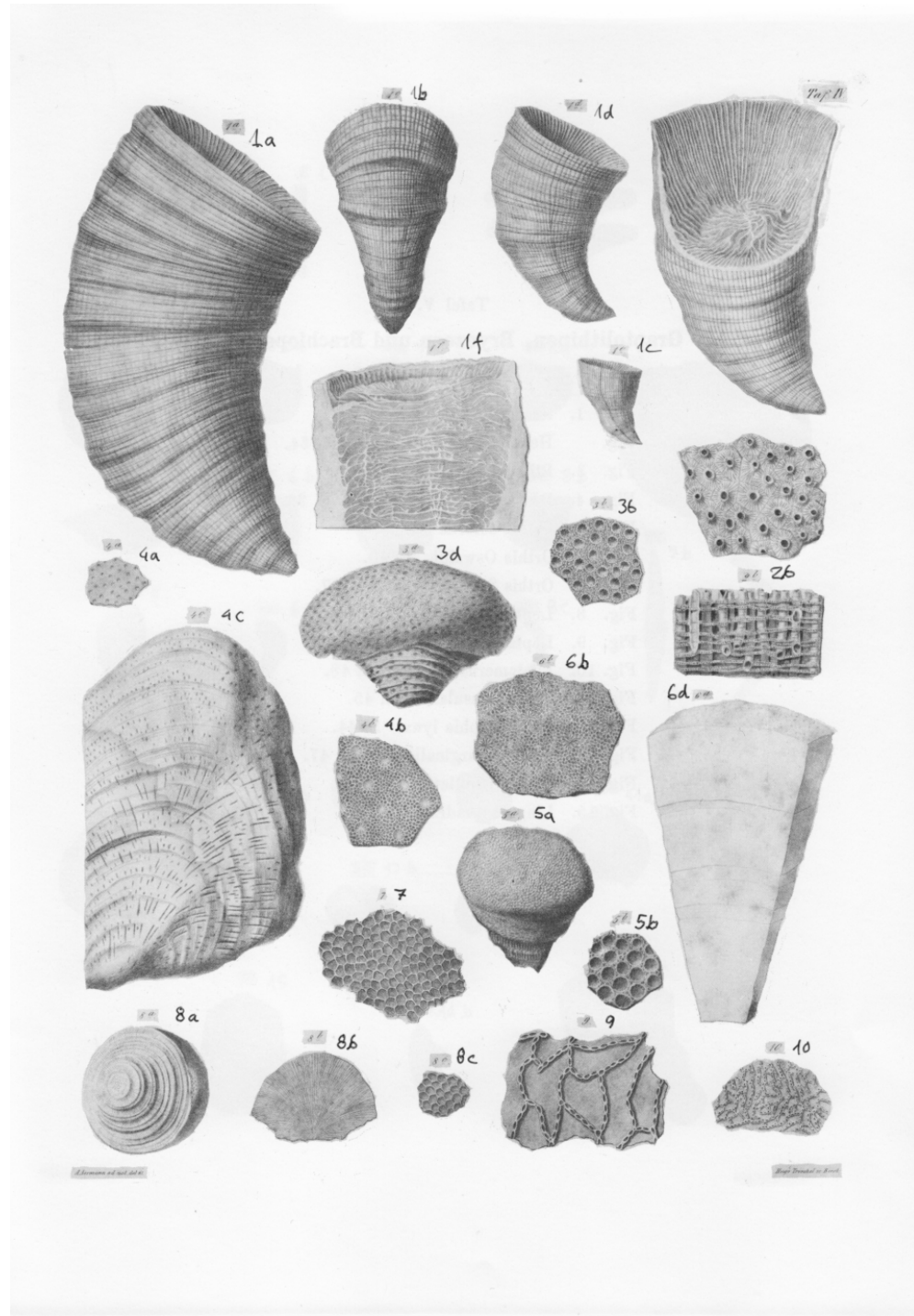
Fig. 12. *Caryocystis granatum* ANGELIS, ein Stück der Oberfläche des Kelches aus einem Geschiebe vom Kreuzberge bei Berlin, welches auch das abgebildete Exemplar von *Caryocystis tenuistrigatus* ANGELIS enthält (pag. 55 [302]).

Fig. 13. *Caryocystis tenuistratus* ANGELIS, aus einem Geschiebe vom Kreuzberg bei Berlin. Nach einem Gutta-Percha-Abgusse des als Hohldruck erhaltenen Originals (pag. 54 [301]).

Fig. 14. *Saptingostoma compressum* FERD. ROEMER, in einem Geschiebe von Meseritz in Ost-Preussen (pag. 53 [300]).

Fig. 15. *Acastra subularis* FERD. ROEMER, in einem Geschiebe von Meseritz in der Provinz Posen (pag. 58 [305]).

Fig. 16. *Leptaena sericea* SOW., aus einem Geschiebe von Kapsdorf bei Breslau (pag. 53 [300]).



Tafel IV.

A n t h o z o e n.

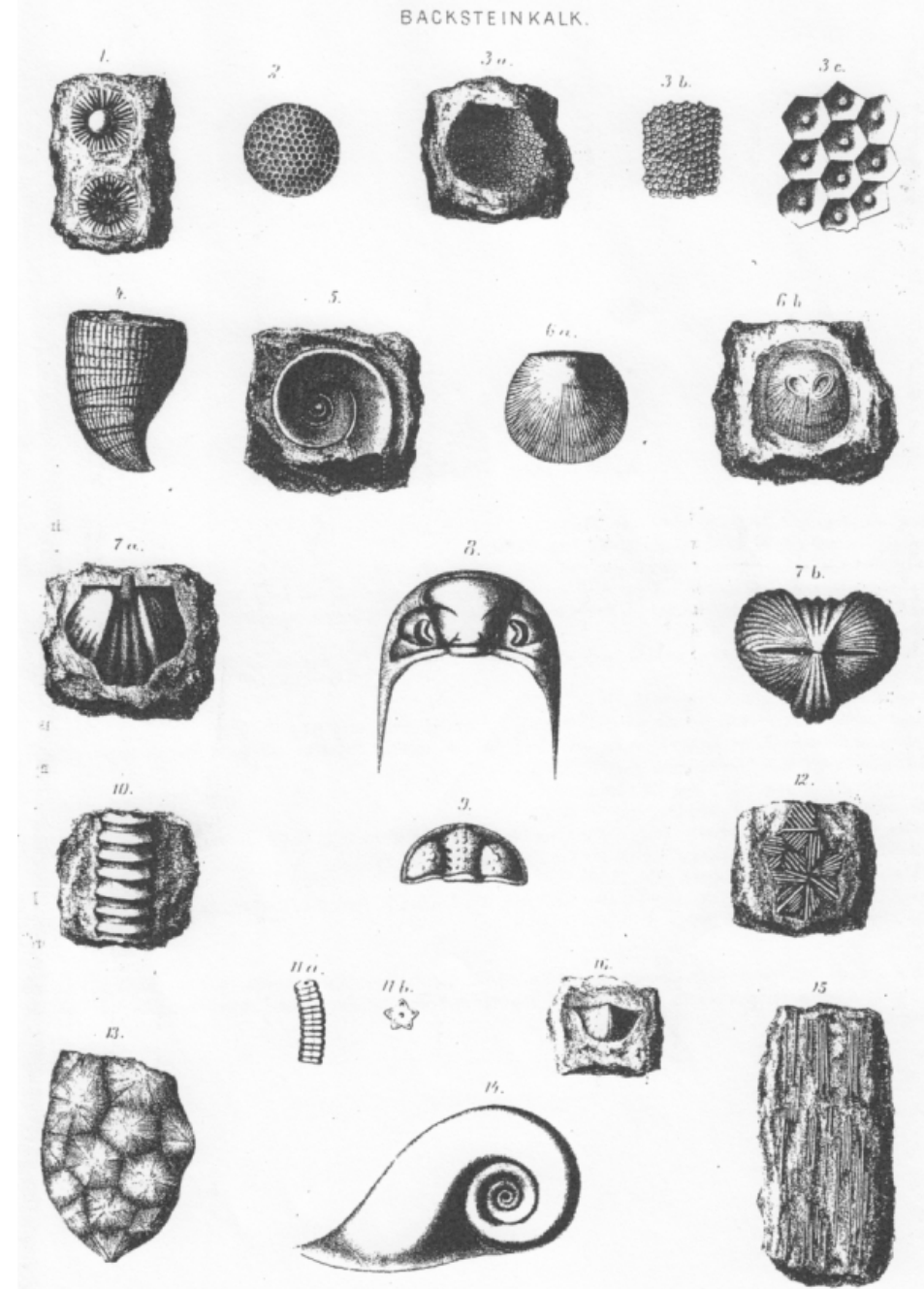
- Fig. 1. Streptelasma Europaeum. S. 16.
 Fig. 2. Syringophyllum organum. S. 20.
 Fig. 3. Propora tubulata. S. 22.
 Fig. 4. Heliolites interstineta. S. 24.
 Fig. 5. Heliolites dubia. S. 26.
 Fig. 5a. stellt ein kleines knollenförmiges Exemplar von der Seite geschen dar. 5 b. ein Stück der Oberfläche desselben Exemplars vergrössert.

In der Erklärung der Abbildungen im Texte S. 27 steht irrthümlich Fig. 4 statt Fig. 5.

- Fig. 6. Heliolites parvistella. S. 25.
 Fig. 7. Calamopora aspera. S. 28.
 Fig. 8. Monticulipora Petropolitana. S. 28.
 Fig. 9. Halysites catenularia. S. 29.
 Fig. 10. Halysites escharoides. S. 30.

F. Roemer, Lethaea erratica

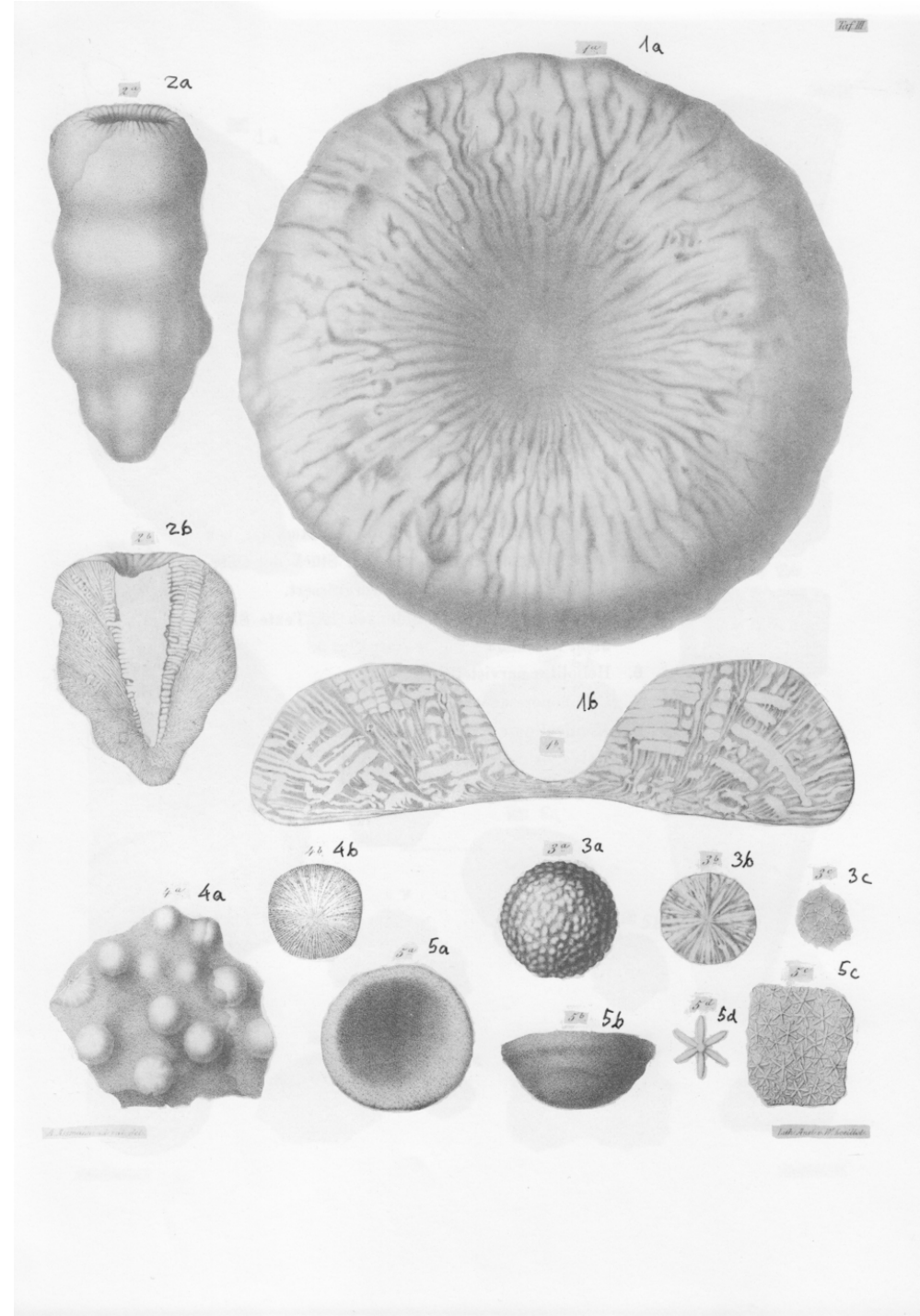
Tafel III.



Sadewitzer Kalk.¹⁾

- Fig. 1. *Streptelasma europaeum* FERN. ROEMER (pag. 64 [311]).
 Fig. 2. *Syringophyllum organum* M. EDWARDS et HAME (pag. 65 [312]).
 Fig. 3. *Chasmops conicophthalmus* FERN. ROEMER (pag. 68 [315]).
 Fig. 4a. *Orthis solaris* L. v. BUCH, Ansicht auf die durchbohrte Klappe; 4b. Ansicht von der Seite (pag. 66 [313]).
 Fig. 5a. *Orthis Oswaldi* L. v. BUCH, Ansicht auf die durchbohrte Klappe; 5b. Ansicht auf die durchbohrte Klappe (pag. 66 [313]).
 Fig. 6. *Platystrophia lynx* KING (pag. 67 [314]).
 Fig. 7a. *Argya cf. marginata* DAVIDSON, Ansicht auf die durchbohrte Klappe; 7b. Ansicht auf die un durchbohrte Klappe (pag. 67 [314]).
 Fig. 8. *Autocopium aurantium* OSWALD (pag. 63 [310]).
 Fig. 9a. *Leptaena sericea* SOW., Ansicht auf die gewöhlte Klappe; 9b. Verticaldurchschnitt (pag. 67 [314]).
 Fig. 10a. *Orthoceras cylindro-annulatum* FERN. ROEMER, ein Theil des gekammernten Gehäuses mit theilweise erhaltenem Schale; 10b. Ansicht auf eine Kammerwand (pag. 67 [314]).
 Fig. 11. *Proetus concinnum* NIESZKOWSKY (pag. 68 [315]).
 Fig. 12. *Lituatus antiquissimus* FRIEDR. SCHMIDT (pag. 68 [315]).
 Fig. 13a. *Heliolites duclini* FRIEDR. SCHMIDT; 13b. ein Theil der Oberfläche vergrössert (pag. 66 [313]).
 Fig. 14a. *Eucrininus multisegmentatus* NIRSZK., Kopfschild; 14b. Pygidium (pag. 68 [315]).
 Fig. 15. *Renoplecturides nanus* FERN. ROEMER (pag. 68 [315]).
 Fig. 16. *Cerurus (Pseudosphaerexochus) Romeri* FRIEDR. SCHMIDT, das Kopfschild ohne die Randschilder (pag. 69 [316]).
 Fig. 17. *Hindia fibrosa* HINDE (pag. 63 [310]).

¹⁾ Alle auf dieser Tafel abgebildete Arten sind bei Sadewitz unweit Breslau gefunden, und die Figuren sind mit Ausnahme von Fig. 17 Kopien aus der Schrift des Verfassers: Die fossile Fauna der silurischen Diluvial-Geschichte von Sadewitz bei Oels. Breslau 1861.

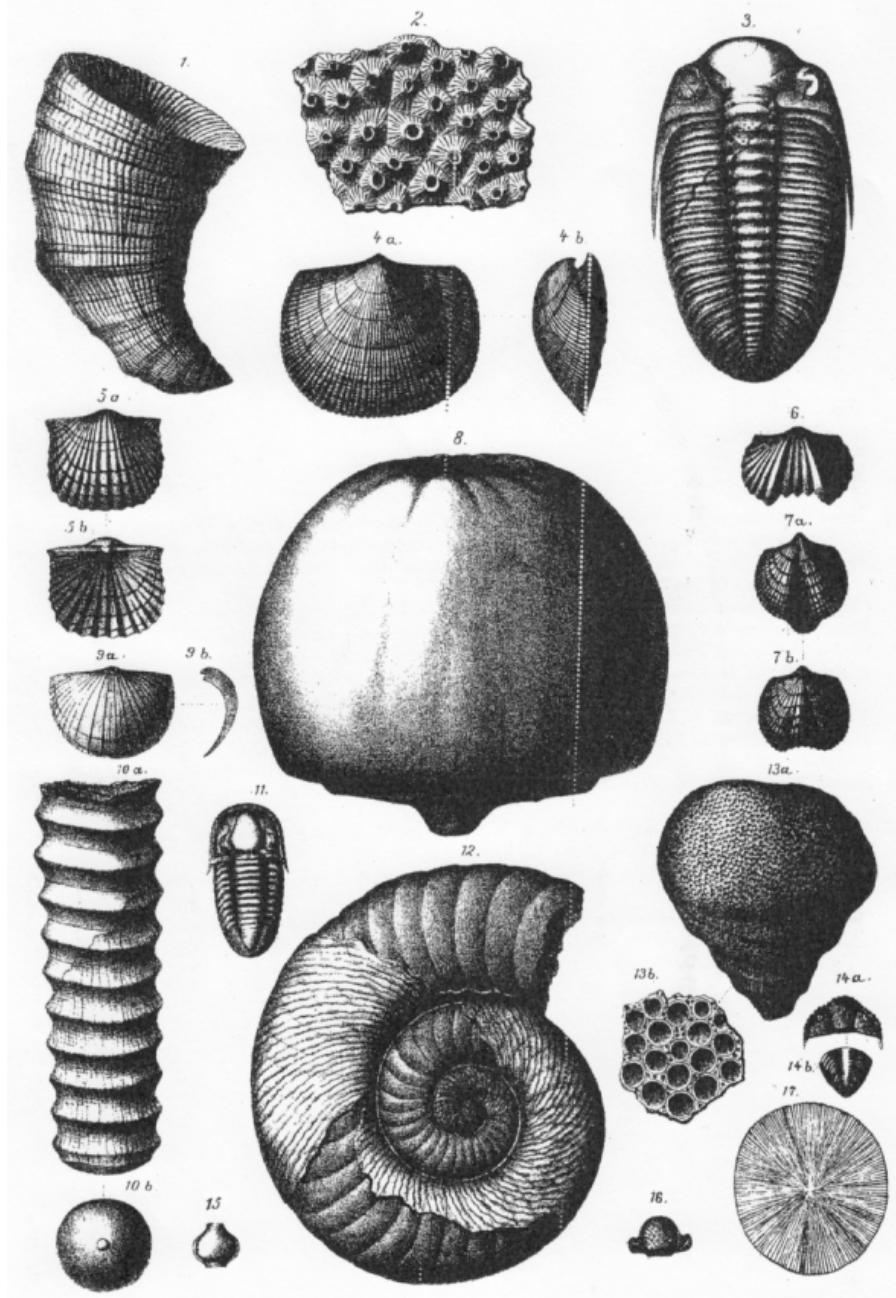


Tafel III.
S p o n g i e n.

- Fig. 1. Aulocopium discus. S. 8.
 Fig. 2. Aulocopium cylindraceum. S. 9.
 Fig. 3. Astylospongia castanea. S. 12.
 Fig. 4. Astylospongia pilula. S. 12.
 Fig. 5. Astraeospongia patina. S. 14.

F. Roemer, *Lethaea erratica*.

SADEWITZER-KALK.



Tafel IV.

Gotländer Kalk.

Fig. 1a. *Thecia Swinburniana* M. EDWARDS et HAIME, ein kleiner Korallenstock in natürlicher Grösse von Gröningen in Holland;

1b. ein Theil derselben vergrössert, um die zierlich sternförmig gestrahlten Kelche zu zeigen (pag. 79 [329]).

Fig. 2a. *Aulosites repens* M. EDWARDS et HAIME, Theil eines Stocks von Breslau in natürlich Grösse; 2b. ein Theil vergrössert (pag. 78 [325]).

Fig. 3. *Pachypora Lonsdalei* LINDSTROM sp. von Gröningen in Holland (pag. 78 [325]).

Fig. 4. *Halyssites catenularia* M. EDWARDS et HAIME von Nieder-Kunzendorf (pag. 77 [324]).

Fig. 5. *Halyssites echinoides* FISCHER VON WALDHEIM von Gröningen (pag. 78 [325]).

Fig. 6a. *Favosites Forbesii* M. EDWARDS et HAIME von Breslau, Stück der Oberfläche des Stocks von oben gesehen; 6b. Theil des Stocks von der Seite um die Querböden und die Poren in den Wänden der Einzel-Individuen zu zeigen (pag. 77 [324]).

Fig. 7. *Heliolites interstitiosus* M. EDWARDS et HAIME von Nieder-Kunzendorf in Schlesien (pag. 78 [325]).

Fig. 8. *Astylospongia praemorsa* FERD. ROEMER von Polnisch-Wartenberg in Schlesien (pag. 79 [326]).

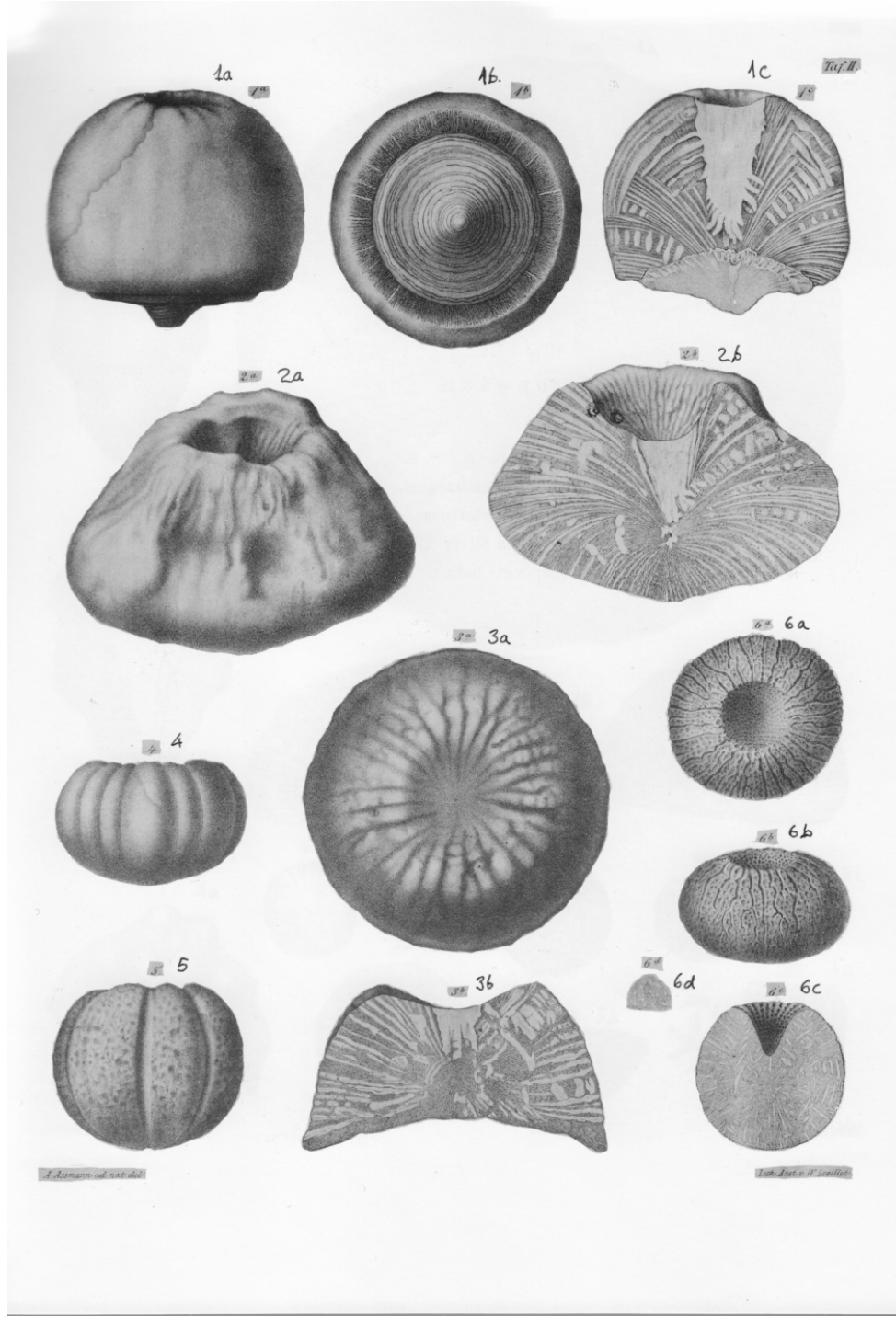
Fig. 9. *Syringopora bifurcata* LONSDALE, Stück eines Korallenstocks von Nieder-Kunzendorf (pag. 78 [325]).

Fig. 10. *Acerularia annas* M. EDWARDS et HAIME von Rybnik in Ober-Schlesien mit stark angewitterter Oberfläche (pag. 79 [326]).

Fig. 11a. *Stromatopora striatella* D'ORB., kleiner Stock in natürlicher Grösse, von Gröningen in Holland; 11b. vergrösserter senkrechter Durchschnitt eines Theils des Stocks (pag. 79 [326]).

Fig. 12. *Cyathophyllum articulatum* HISINGER von Danzig, ein aus drei Zellen bestehendes Bruchstück eines Korallenstocks (pag. 79 [326]).

Fig. 13. Gesteinsstück mit *Crotalocrinus rugosus* MILLER sp. (die runden Stielglieder) und *Cyathocrinites* ♀ *pentagonus* GOLDFUSS (die fünfeckigen Stielglieder) von Gröningen in Holland (pag. 91 [338]).



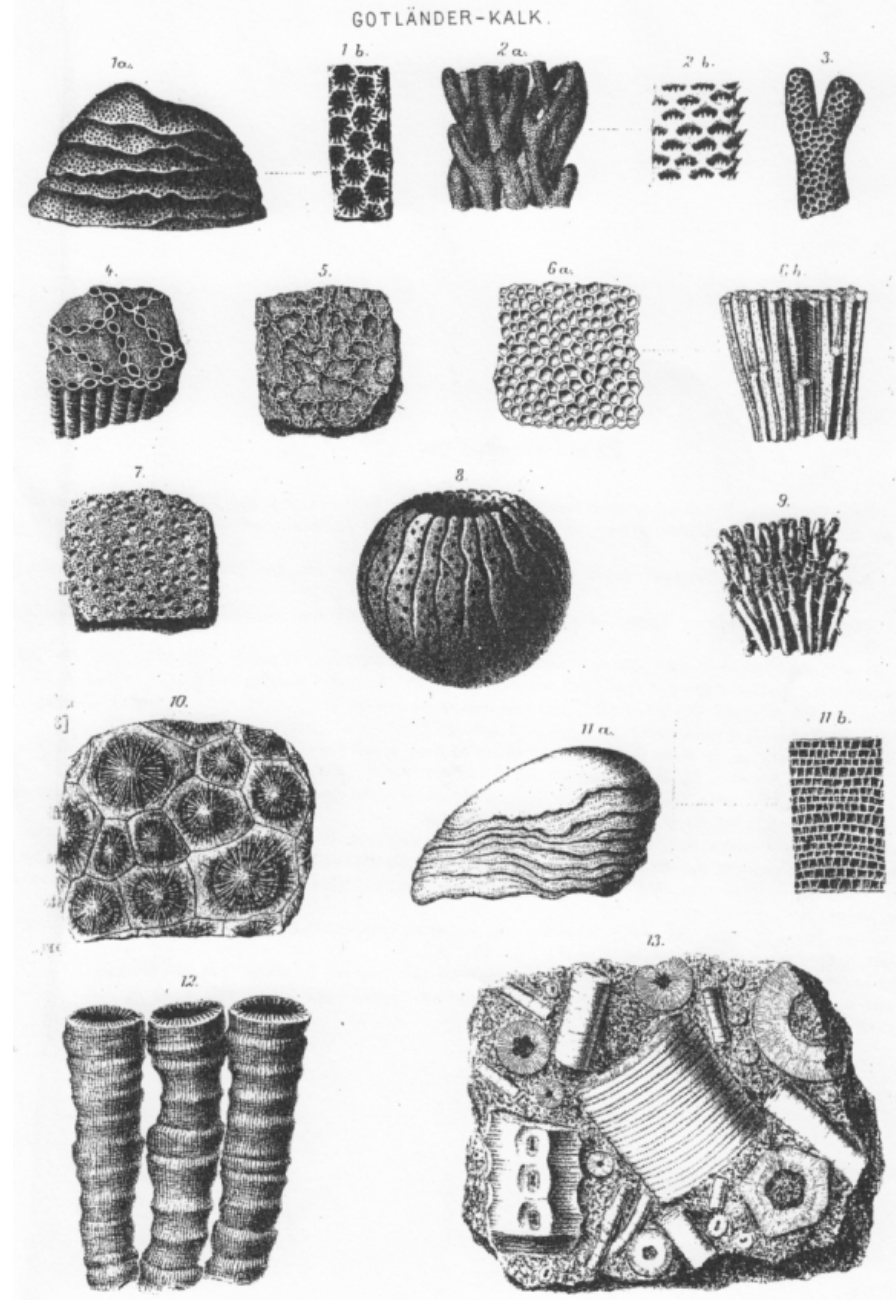
Tafel II.

S p o n g i e n.

- ~~~~~
- Fig. 1. Aulocopium aurantium. S. 4.
 Fig. 2. Aulocopium cepa. S. 7.
 Fig. 3. Aulocopium hemisphaericum. S. 6.
 Fig. 4. Astylospongia inciso-lobata. S. 13.
 Fig. 5. Astylospongia incisa. S. 13.
 Fig. 6. Astylospongia praemorsa. S. 10.
 6a. ein niedergedrückt sphaeroidisches Exemplar von oben. 6 b. dasselbe von der Seite. 6 c. mittlerer Vertical-Schnitt eines kugeligen Exemplars. 6 d. ein Stück des durch sternförmige kleine Körper gebildeten Schwammgewebes. Der Zusammenhang der Sterne unter einander durch unmittelbaren Uebergang der Strahlen des einen Stern's in die Strahlen des anderen ist in der Zeichnung nicht deutlich angegeben.
- ~~~~~

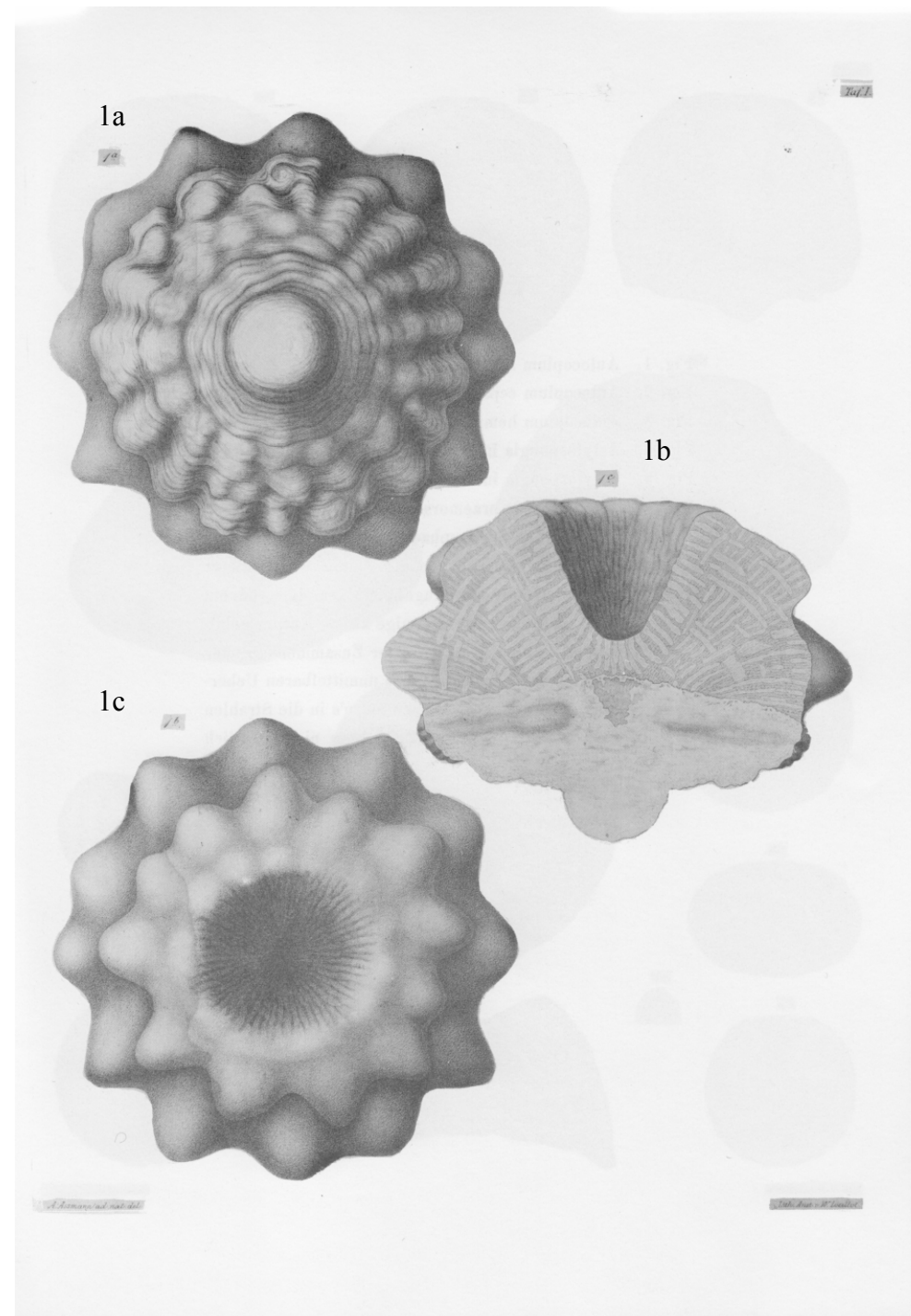
F. Roemer, *Lethaea erraticica*.

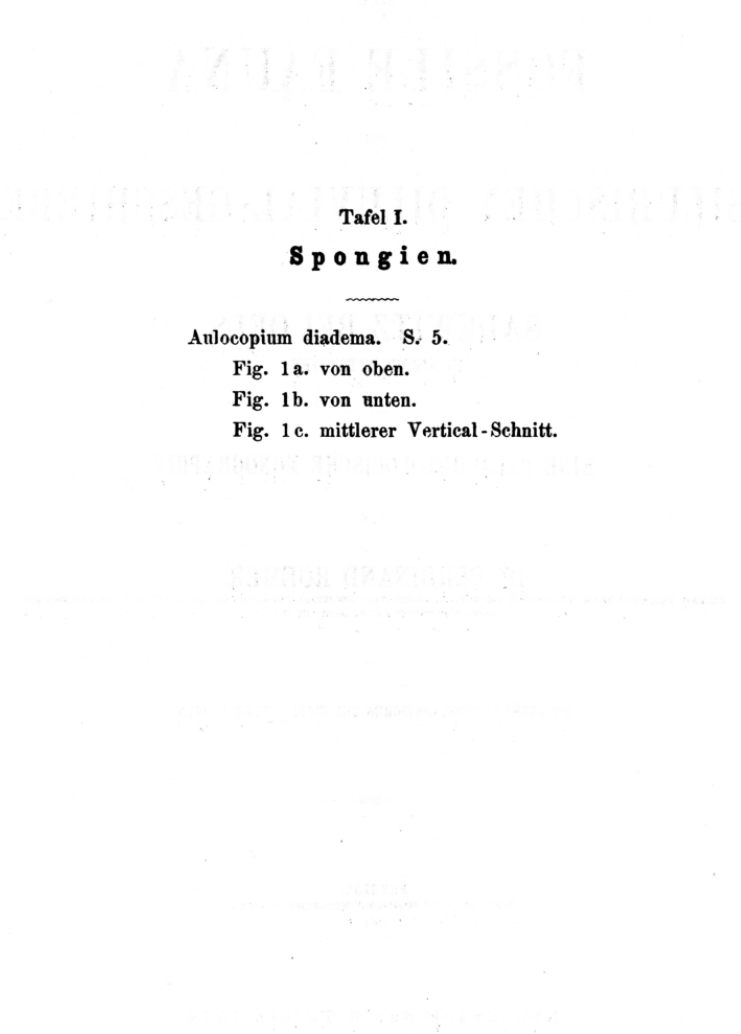
Tafel V.



Phaciten-Oolith.

- Fig. 1. *Cardinia oolithophila* FERD. ROEMER in einem Geschiebe von Nieder-Kunzendorf bei Freiburg in Schlesien; auf der Oberfläche desselben Gesteinstücks auch grosse subcylindrische, im Innern concentrisch-schalige Concretionen (pag. 87 [334]).
- Fig. 2. *Cardinia ? subtegulifera* FERD. ROEMER, rechte Klappe, auf einem Geschiebe von feinkörnigem Oolith von Rostock (pag. 88 [335]).
- Fig. 3. *Calyptene Blumenbachii* BRONGN., Kopfschild einer grossen Form der Art aus sandigem Kalkstein von Rostock (pag. 89 [336]).
- Fig. 4. Stück eines sehr grobkörnigen Ooliths, dessen Körner über Erbsengröße erreichen, Geschiebe von Danzig (pag. 86 [333]).
- Fig. 5. *Lepardia phascolas* HISINGER sp., drei Individuen auf einem Geschiebe sandigen Kalksteins von Rostock (pag. 90 [337]).
- Fig. 6. Oolith-Geschiebe mit grösseren und kleineren Exemplaren von Saulengliedern des *Phacites Gotlandicus WAHLENBERG* von Borkau im Kreise Cöthen in West-Preussen (pag. 86 [333]).
- Fig. 7. *Lucina Hisingeri MURCHISON*, in einem Geschiebe von gelblich-grauem, breccienartigen Oolith von Rostock (pag. 87 [334]).
- Fig. 8. *Chonetes striatella* DE KONINCK in einem Geschiebe von Rostock (pag. 87 [334]).
- Fig. 9. *Leptena filosa* FERD. ROEMER aus einem plattenförmigen Geschiebe eines grauen, sandigen Kalksteins von Langenau bei Danzig, Ansicht auf die grössere Klappe (pag. 87 [334]).
- Fig. 10. *Pterinacea baltica* FERD. ROEMER, linke Klappe auf einem feinkörnig-oolithischen Kalkgeschiebe von Rostock (pag. 88 [335]).
- Fig. 11. *Pterinacea retroflexa* HISINGER sp., die linke Klappe aus einem sandig-kalkigen Geschiebe von Bromberg (pag. 88 [335]).
- Fig. 12. *Pterinacea reticulata* HISINGER sp. auf einem Geschiebe eines breccienartigen, sandigen Kalksteins von Rostock (pag. 89 [336]).
- Fig. 13. *Mitilus balticus* FERD. ROEMER auf einem Geschiebe vom feinkörnig-oolithischen, zugleich breccienartigen, gelblich-grauem Kalkstein von Langenau bei Danzig (pag. 89 [336]).
- Fig. 14. *Lozonema* sp. in einem Geschiebe von gelblich-grauem, sandigen Kalkstein von Rostock (pag. 89 [336]).
- Fig. 15. *Marchionia turrielloides* FERD. ROEMER in einem kleinen Geschiebe feinkörnigen Ooliths von Lück in Ost-Preussen (pag. 89 [336]).





Tafel I.

S p o n g i e n.

Aulocodium diadema. S. 5.

Fig. 1a. von oben.

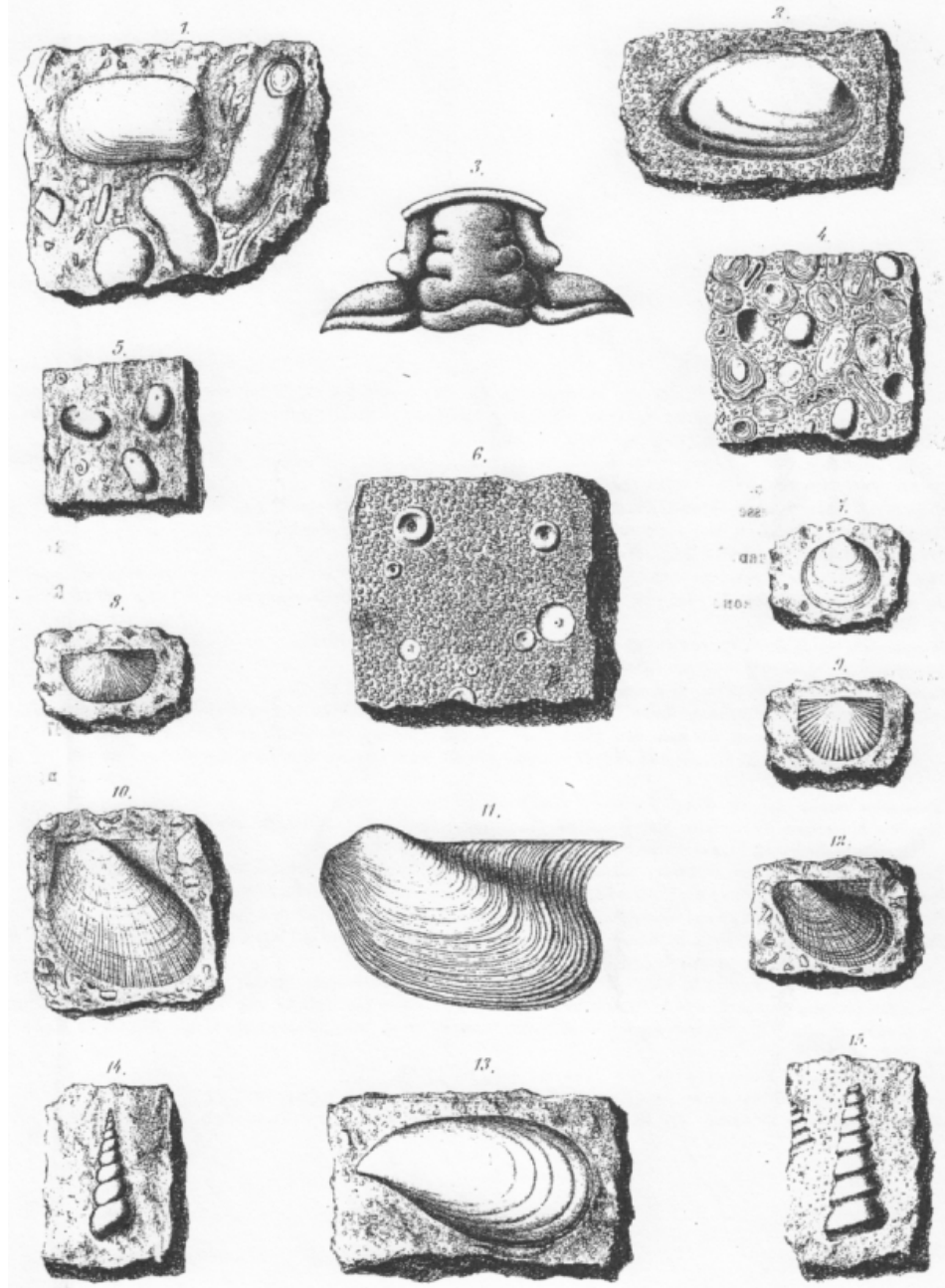
Fig. 1b. von unten.

Fig. 1c. mittlerer Vertical-Schnitt.

F. Roemer, Lethaea erratica.

Tafel VI.

PHACITEN-DOLITH.



Beyrichien-Kalk.

Fig. 1. *Spirifer elevatus DALMAN*, Exemplar der häufigeren in die Quere ausgedehnten Form mit mässig hoher, oben abgeplatteter und mit einer seichten mittleren Vertiefung versehener, undurchbohrter Klappe, aus einem Geschiebe von Nieder-Kunzendorf in Schlesien (pag. 98 [345]).

Fig. 2. *Spirifer elevatus DALMAN*, Exemplar der selteneren Form mit hoher Area und weniger in die Quere ausgedehnter Gest aus einem Geschiebe von Berlin (pag. 98 [345]).

Fig. 3. *Siphonema filosa Sow.* sp., kleines Exemplar aus einem Geschiebe von Stargard (pag. 100 [347]).

Fig. 4. *Atrypa reticularis DALMAN* aus einem Geschiebe von Nieder-Kunzendorf (pag. 99 [346]).

Fig. 5. *Orthis canaliculata LINNSTRÖM* (pag. 100 [347]).

Fig. 6a. *Pholidops antiqua SCHLOTH.* sp., mehrere Exemplare auf einem Stücke eines Geschiebes von Bromberg; 6b. einzelne Klappe von aussen; 6c. von der Seite; 6d. Ventralklappe von innen vergrössert mit den Muskeleindrücken (pag. 96 [343]).

Fig. 7. *Rhynchonella nucata Sow.* sp. aus einem Geschiebe von Breslau (pag. 97 [344]).

Fig. 8. *Murchisonia cf. obsoleta Sow.* (pag. 103 [350]) ebendahe.

Fig. 9. *Cornulites serpularius SCHLOTH.* in einem Geschiebe von Berlin (pag. 107 [354]).

Fig. 10a. Stück des typischen Beyrichien-Kalks mit *Beyrichia tuberculata* und *Chonetes striatella DALMAN* sp. von Nieder-Kunzendorf; 10b. ein Exemplar von *Chonetes striatella* mit erhaltenem Stacheln längs des Schlossstrandes; 10c. dasselbe von der Seite (pag. 97 [344]); 10d. *Beyrichia tuberculata KLÖDEN* sp. aus demselben Geschiebe, vergrössert (pag. 97 [344] und pag. 108 [355]).

Fig. 11. *Tentaculites ornatus Sow.* in einem Geschiebe von Berlin (pag. 106 [353]).

Fig. 12. *Serpulites longistriatus MURCHISON* ein Fragment der zusammengedrückten Röhre in einem Geschiebe von typischem Beyrichien-Kalk von Meseritz in der Provinz Posen (pag. 107 [354]).

Fig. 13. *Lepidaria angulata FRIEDR.* SCHMIDT aus einem Geschiebe von Lerchenborn bei Lüben (pag. 110 [357]).

Fig. 14. *Calyptene Blumenbachii BRONGN.* Kopfschild aus einem Geschiebe von Nieder-Kunzendorf (pag. 110 [357]).

Fig. 15. *Phacops Dorsungias MURCHISON*, Kopfschild aus einem Geschiebe von Lerchenborn (pag. 110 [357]).

Fig. 16a. *Pholidogya lanceolata LONSDALE* in einem Geschiebe von Grüningen in Holland mit erhaltenem stumpf zugeschundeter Ende; 16b. ein Theil des Stockes vergrössert (pag. 95 [342]).

Fig. 17a. *Eutrochus* sp., ein Säulenstück in einem Geschiebe von Breslau in natürlicher Grösse; 17b. vergrössert (pag. 94 [341]).

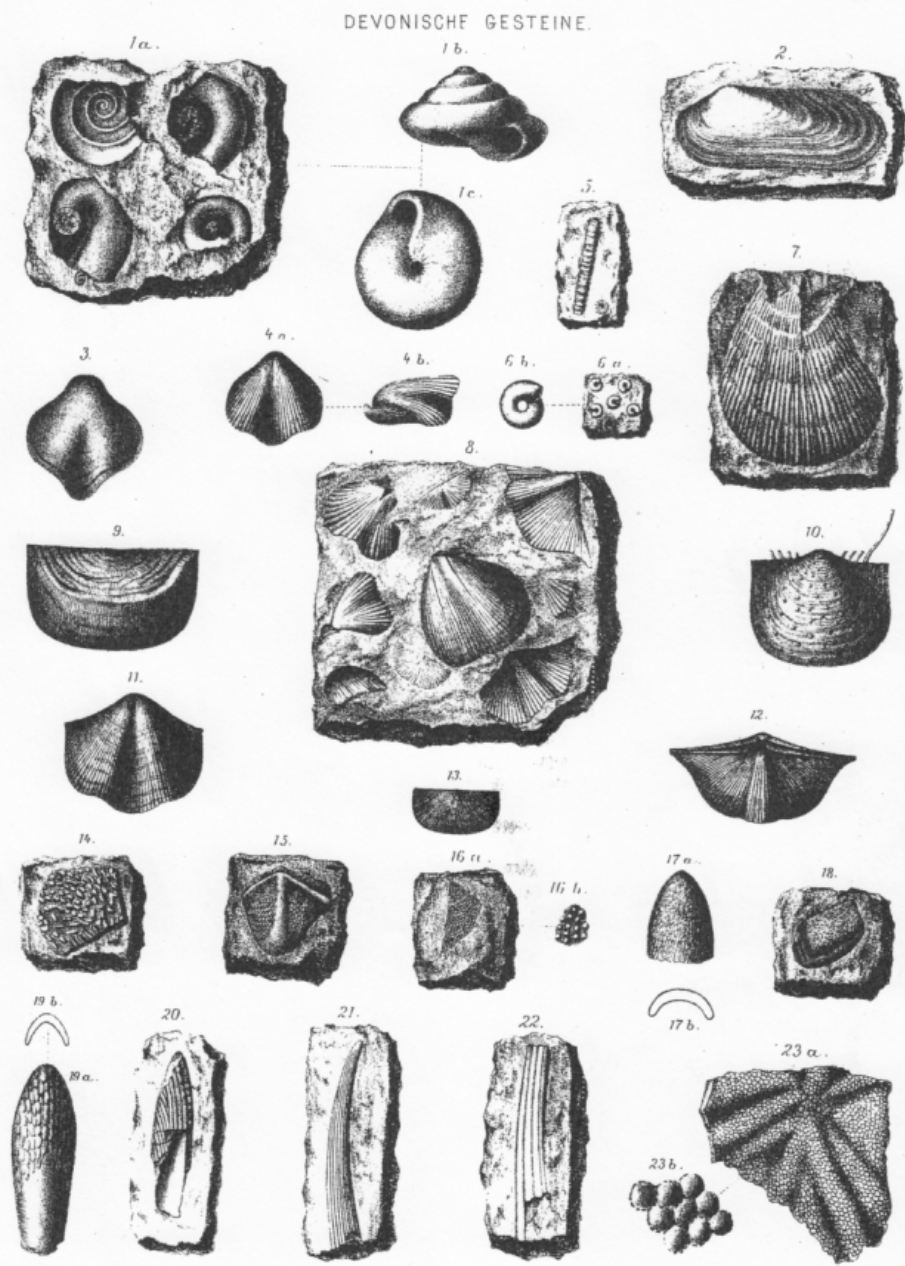
Fig. 18a. *Eutrochus astericus FRIEDR.* ROEMER, Gesteinstück mit einem einzelnen Säulengliede von Berlin; 18b. dasselbe Säulenglied vergrössert; 18c. ein nur einmal beobachtetes längeres Stück von Lerchenborn bei Lüben in Schlesien (pag. 94 [341]).

Fig. 19. *Perinæa mediopapis FRIEDR.* ROEMER von Meseitz (pag. 102 [347]).

Fig. 20. *Perinæa retroflexa HÜSINGER* sp. von Nieder-Kunzendorf bei Freiburg (pag. 102 [347]).

Fig. 21. *Enterinarus punctatus EMMRICH*, Pygidium aus einem Geschiebe von Kolberg in Preussen (pag. 110 [357]).

F. Roemer, *Lethaea erratica*

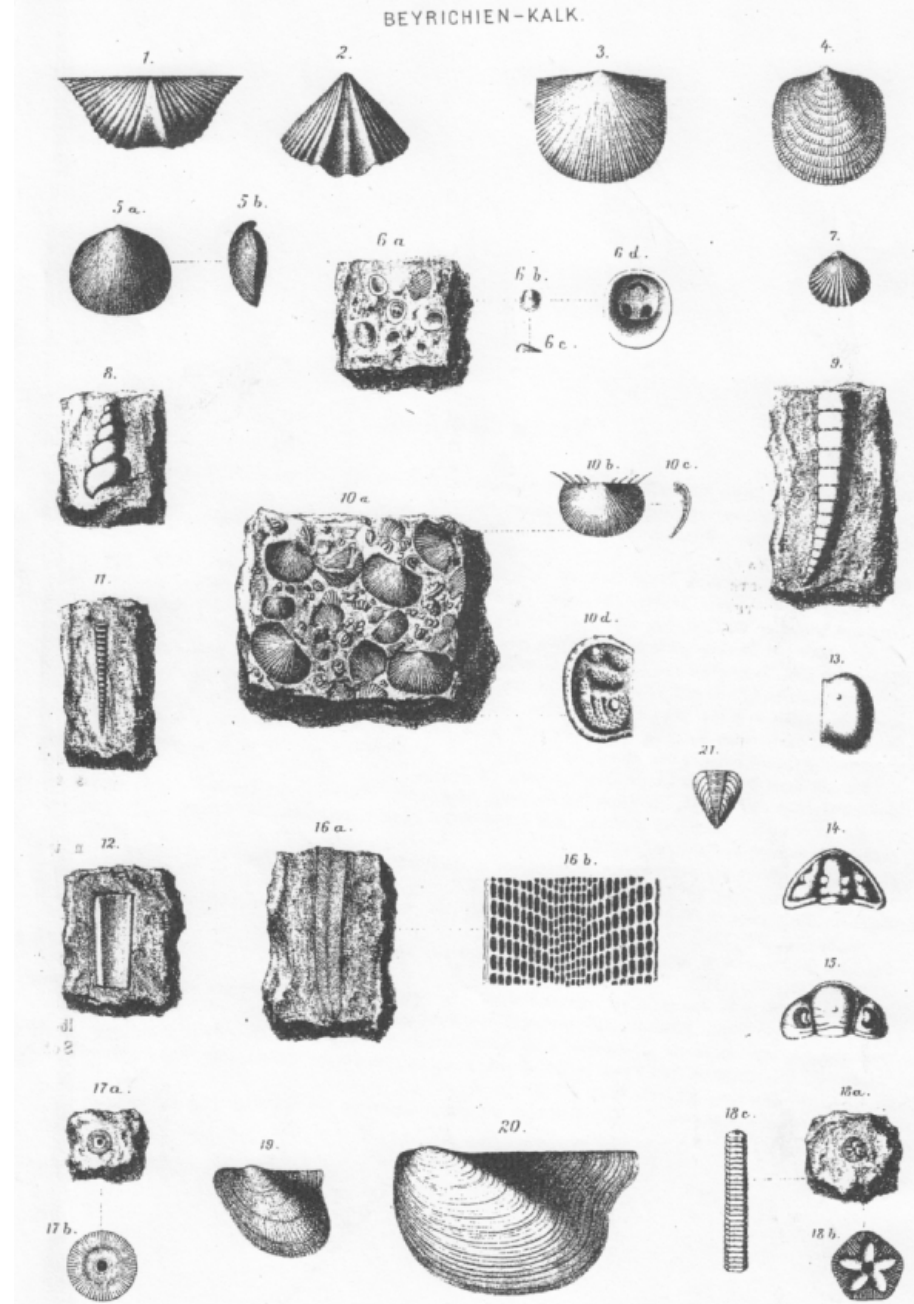


Tafel XI.

- Devon.**
- Fig. 1a. *Platyschisma Kirchholmiensis* KEYSERLING, Steinkerne und Abdrücke in einem Geschiebe von bräunlich-grauem Dolomit aus Ost-Preussen; 1b. grosses Exemplar derselben Art mit erhaltenen Schale von Kirchholm in Livland, Seitenansicht; 1c. von unten (pag. 137 [384]).
- Fig. 2. *Unio* (?) sp. in einem plattenförmigen Stück brauen Sandsteins von Lyck in Ost-Preussen (pag. 136 [383]).
- Fig. 3. *Spirigera (Athyris) concentrica* D'ORB. aus gelblich-grauem Dolomit von Langenau bei Danzig, Ansicht auf die durchbohrte Klappe (pag. 136 [383]).
- Fig. 4a. *Rhynchonella livonica* EICHWALD VON Mesierte in der Provinz Posen, Ansicht gegen die durchbohrte Klappe; 4b. Seitenansicht (pag. 136 [383]).
- Fig. 5. *Crinoideorum* genus? Säulenstück in hellgrauem, violett-geflammtem Dolomit von Preuss.-Stargard in West-Preussen (pag. 137 [384]).
- Fig. 6a. *Spirorbis ophthalodes* M. EDWARDS in mehreren Exemplaren auf einem plattenförmigen Geschiebe von gelblich-grauem, violett-geflammtem, zerreiblichem Dolomit von Preuss.-Stargard in West-Preussen; 6b. ein Exemplar vergrössert (pag. 137 [384]).
- Fig. 7. *Pterinea?* sp. auf röthlich-grauem, bluthroth-geflecktem, sandstein-ähnlichem, feinkörnigem Dolomit mit *Spirifer* sp. von Lyck in Ost-Preussen (pag. 137 [384]).
- Fig. 8. *Spirifer disjunctus* Sow., mehrere Exemplare auf einem Geschiebe von rothbraunem dolomitischen Sandstein von Lyck in Ost-Preussen (pag. 135 [382]).
- Fig. 9. *Strophomena rhomboidalis* var. *analogia* DAVIDSON, vollständig mit der Schale erhaltenes Exemplar aus einem Geschiebe eines festen, blau violett-rothgefleckten, feinkörnigen, grauen Dolomits von Lyck in Ost-Preussen (pag. 136 [383]).
- Fig. 10. *Stropholasia productoides* DAVIDSON, Ansicht der grösseren Klappe von Mesierte in der Provinz Posen (pag. 135 [382]).
- Fig. 11. *Spirifer disjunctus* Sow., ungeflügelte Form (pag. 135 [382]).
- Fig. 12. *Spirifer disjunctus* Sow. aus grauem Dolomit von Langenau bei Danzig, die typische, geflügelte Form (pag. 135 [382]).
- Fig. 13. *Chonetes* sp. aus einem Geschiebe röthlich-grauen Dolomits von Kapsdorf bei Trebnitz (pag. 136 [383]).
- Fig. 14. ? *Asterolepis* sp., Fragment eines Knochenschildes in sandig-zerreiblichem Dolomit bei Cosel in Schlesien.
- Fig. 15. ? *Pammoseus* sp., Kleines Knochenschild in breccienartigem dolomitischen Gestein von Birnbaum in der Provinz Posen. Vergl. KADE, l. c. f. 3a.
- Fig. 16a. *Asterolepis* sp., Fragment einer dünnen Knochenplatte in einem plattenförmigen Stücke von weissem, etwas schieferigem glimmerreichem Sandstein von Lyck in Ost-Preussen; 16b. ein Theil der Oberfläche vergrössert (pag. 139 [386]).
- Fig. 17a. ? *Asterolepis* sp., Unvollständiges längliches convex-concavum Knochenschild aus dem breccienartigem Gesteine von Birnbaum in der Provinz Posen; 17b. Querschnitt derselben.
- Fig. 18. *Gyrolepis Posnaniensis* KADE, eine Schuppe aus denselben Gesteine. Vergl. KADE, l. c. f. 10.
- Fig. 19a. *Asterolepis* sp., Knochenschild aus einem Geschiebe sandig-zerreiblichen, violett-gefleckten, grauen Dolomits von Kapsdorf bei Trebnitz unweit Breslau; 19b. Querschnitt (pag. 138 [385]).
- Fig. 20. *Asterolepis* sp. aus einem ziemlich festen, violett-gefleckten, grauen Dolomit-Geschiebe von Kapsdorf bei Trebnitz unweit Breslau (pag. 138 [385]).
- Fig. 21. *Onchus* sp.? Flossenstachel aus einem feinkörnigen, violett-gefleckten, grauen Dolomit-Geschiebe von Nieder-Kunzen-dorf bei Freiburg in Schlesien (pag. 138 [385]).
- Fig. 22. *Archaeocanthus quadrivalvatus* KADE, Flossenstachel-Bruchstück, grössentheils als Abdruck in einem sehr festen, deutlich kryszallinischem, gelblich-grauem Dolomit-Geschiebe von Lyck in Ost-Preussen. Die Abbildung ist nach einem Guttapercha-Gegendruck angefertigt (pag. 139 [386]).
- Fig. 23a. *Pammoseus arenatus* KADE, unvollständiges Knochenschild aus dem breccienartigen Gesteine von Birnbaum in der Provinz Posen. Kopie nach KADE, l. c. f. 14a.; 23a. ein Stück der Oberfläche vergrössert.

F. Roemer, *Lethaea erratica*.

Tafel VII.

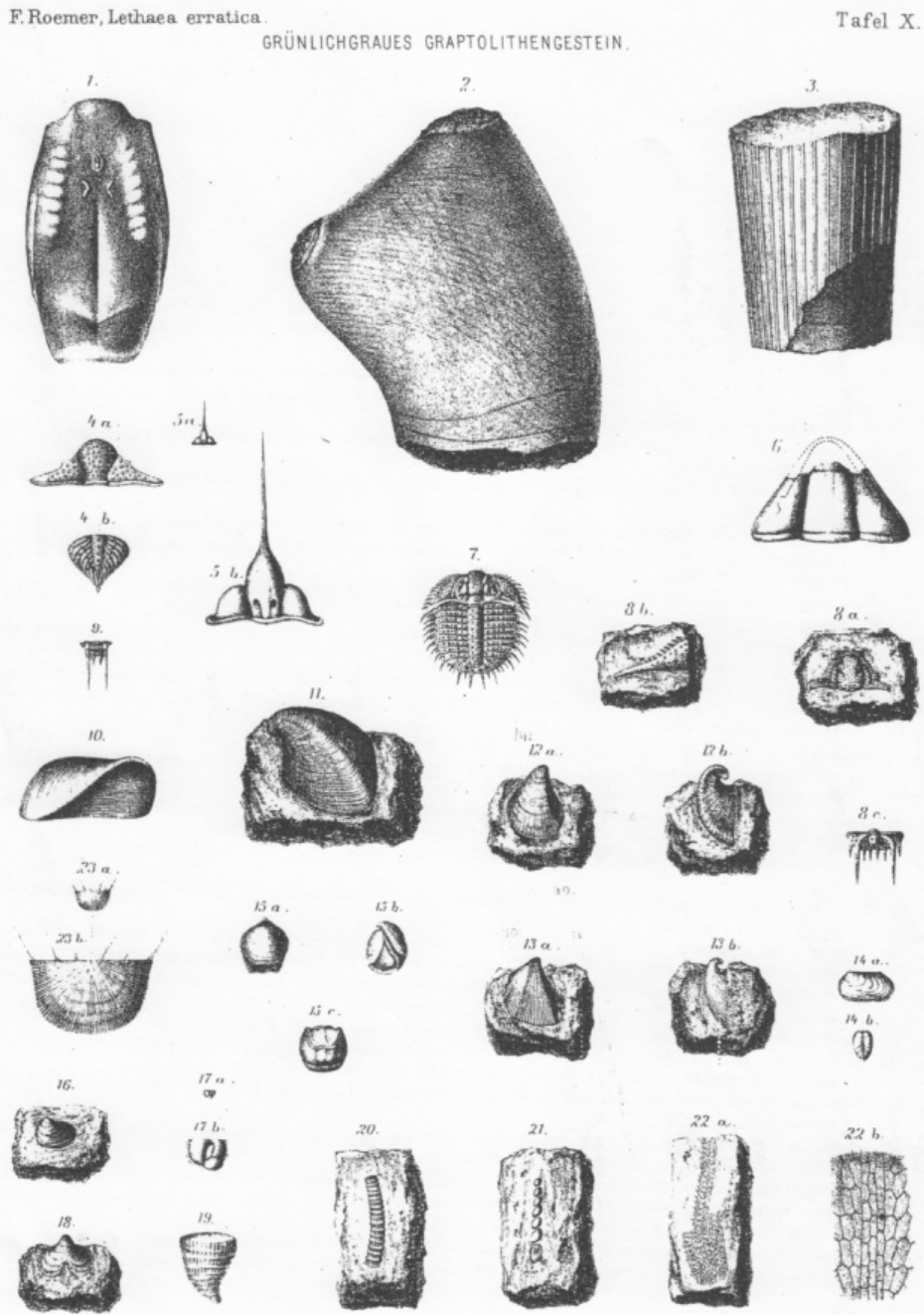


Beyrichien-Kalk.

18

- Fig. 1. *Cardiola interrupta* Sow., kleines Exemplar aus einem Geschiebe von Lyck in Ost-Preussen (pag. 103 [350]).
 Fig. 2. *Lacina Hisingeri* MURCHISON, kleines Exemplar aus einem Geschiebe von Danzig (pag. 101 [348]).
 Fig. 3a. *Conocardium reticulatum* KRAUSE; vergrössert; 3b. natürliche Grösse, Original-Exemplar, von Rixdorf bei Berlin (pag. 101 [348]).
 Fig. 4. *Cypricardia (?) philobrychica* FERD. ROEMER in einem Geschiebe von Danzig (pag. 101 [348]).
 Fig. 5. *Cypricardinia pusilla* FERD. ROEMER, Exemplar der rechten Klappe aus einem Geschiebe von Meseritz (pag. 102 [349]).
 Fig. 6a. *Discina orbiculoides* KRAUSE von Rixdorf bei Berlin, die grössere, freie Klappe mit theilweise erhaltenen Schalea;
 6b. senkrechter Durchschnitt. Kopieen nach KRAUSE (pag. 96 [343]).
 Fig. 7. *Leptodomus unio* FERD. ROEMER aus einem Geschiebe von Nieder-Kunzendorf in Schlesien (pag. 102 [349]).
 Fig. 8. *Modiolopsis antiqua* Sow. aus einem Geschiebe von Lerchenborn bei Lüben in Schlesien (pag. 102 [349]).
 Fig. 9. *Meristella tumida* J. HALL aus einem Geschiebe von Meseritz (pag. 99 [346]).
 Fig. 10a. *Siphonema varicosata* KRAUSE in natürlicher Grösse; 10b. vergrössert. Copieen nach KRAUSE (pag. 100 [347]).
 Fig. 11. *Orthoceras Damesii* KRAUSE in einem Geschiebe von Lerchenborn in Schlesien. Auf dem oberen Theile der Wohnkammer hören die Längsreihen auf (pag. 104 [351]).
 Fig. 12a. *Orthoceras Damesii* KRAUSE, ein Stück des Gehäuses vergrössert; 12b. verticaler Durchschnitt in natürlicher Grösse, um das Anschwellen des Siphos zwischen zwei Kammerwänden zu zeigen (pag. 104 [351]).
 Fig. 13. *Bellerophon substriatus* KRAUSE (pag. 104 [351]).
 Fig. 14a. *Fenestella* sp., Stück der netzförmigen Ausbreitung in natürlicher Grösse; 14b. ein Theil desselben vergrössert; Geschiebe von Breslau (pag. 95 [342]).
 Fig. 15a. *Begrichia Macayana* R. JONES in natürlicher Grösse; 15b. vergrössert; 15c. Exemplar mit kugeliger Wulst am Unterrande (pag. 109 [356]).
 Fig. 16a. *Begrichia Wilkinsoniana* R. JONES in natürlicher Grösse; 16b. vergrössert; 16c. Exemplar mit kugeliger Wulst am Unterrande (pag. 109 [356]).
 Fig. 17a. *Begrichia Bachiana* R. JONES in natürlicher Grösse; 17b. vergrössert; 17c. Ansicht von unten (pag. 109 [356]).
 Fig. 18. *Onchus granulatus* FERD. ROEMER, Flossenstachel von Nieder-Kunzendorf (pag. 111 [358]).
 Fig. 19. *Onchus tenuisriatus* AGASSIZ, Flossenstachel in einem Geschiebe von Lyck in Ost-Preussen (pag. 111 [358]).
 Fig. 20a. *Onchus* sp., Flossenstachel von Lyck in Ost-Preussen, Ansicht auf die Aussenseite; 20b. Querschnitt (pag. 111 [358]).
 Fig. 21—25. *Thelodus pareidens* AGASSIZ (pag. 112 [359]).
 Fig. 26. *Plectrodus mirabilis* AGASSIZ (?), Kieferfragment aus einem Geschiebe von Danzig (pag. 112 [359]).

23



Tafel X.

Grünlichgraues Graptolithen-Gestein.

Fig. 1. *Cyathaspis integer* KUNTH von Schöneberg bei Berlin. Die Zeichnung nach dem Original-Exemplare gefertigt (pag. 131 [378]).

Fig. 2. *Phragmoceras arenatum* (?) Sow. von Matzkirch bei Leobschütz in Ober-Schlesien, Ansicht der Wohnkammer mit einem Stücke des gekammerten Schaltheils von der Seite gesehen (pag. 127 [374]).

Fig. 3. *Orthoceras angulatum* Sow., unvollständiges Exemplar von Lerchenborn (pag. 127 [374]).

Fig. 4a. *Enerinus punctatus* EMMICH var. von Lerchenborn, Kopfschild ohne die Randschilder; 4b. Pygidium von Lerchenborn (pag. 129 [376]).

Fig. 5a. *Ampyx parvulus* FORST. Kopfschild aus einem Geschiebe von Dürrgoy bei Breslau in natürlicher Größe; 5b. vergrössert (pag. 129 [376]).

Fig. 6. *Homalonotus delphinecephalus* MURCHISON, kleines Kopfschild aus einem Geschiebe bei Berlin (pag. 128 [375]).

Fig. 7. *Odontopleura ovata* EMMICH von Nieder-Kunzendorf (pag. 129 [376]).

Fig. 8a. *Odontopleura matica* EMMICH, Kopfschild ohne die Randschilder; 8b. ein Theil des linken Randschildes vergrössert; 8c. Pygidium (pag. 129 [367]).

Fig. 9. *Odonotopera Barrandi* ANGELIN, Pygidium von Rostock (pag. 129 [376]).

Fig. 10. *Goniophora cymbiformis* SALTER von Lerchenborn, die rechte Klappe (pag. 123 [370]).

Fig. 11. *Cardiola carinifera* FERD. ROEMER von Lerchenborn, die linke Klappe (pag. 122 [369]).

Fig. 12a. *Lamulicardium graptolithophorum* FERD. ROEMER von Lerchenborn, die rechte Klappe von der Seite, 12b. von vorn pag. 123 [370].

Fig. 13a. *Lamulicardium striolatum* FERD. ROEMER von Lerchenborn, die rechte Klappe von der Seite, 13b. von vorn (pag. 123 [370]).

Fig. 14a. *Modiolopsis* (?) *erratica* FERD. ROEMER von Lerchenborn, von der Seite; 14b. Ansicht von vorn (pag. 123 [370]).

Fig. 15a. *Rhynchonella* sp. von Lerchenborn, Ansicht gegen die undurchbohrte Klappe; 15b. Ansicht von der Seite; 15c. gegen die Stirn (pag. 120 [367]).

Fig. 16. *Nucula* sp. in einem Geschiebe von Lerchenborn (pag. 124 [371]).

Fig. 17a. *Bephricha jonesii* BÖHL in natürlicher Größe; 17b. vergrössert, von Lerchenborn (pag. 131 [378]).

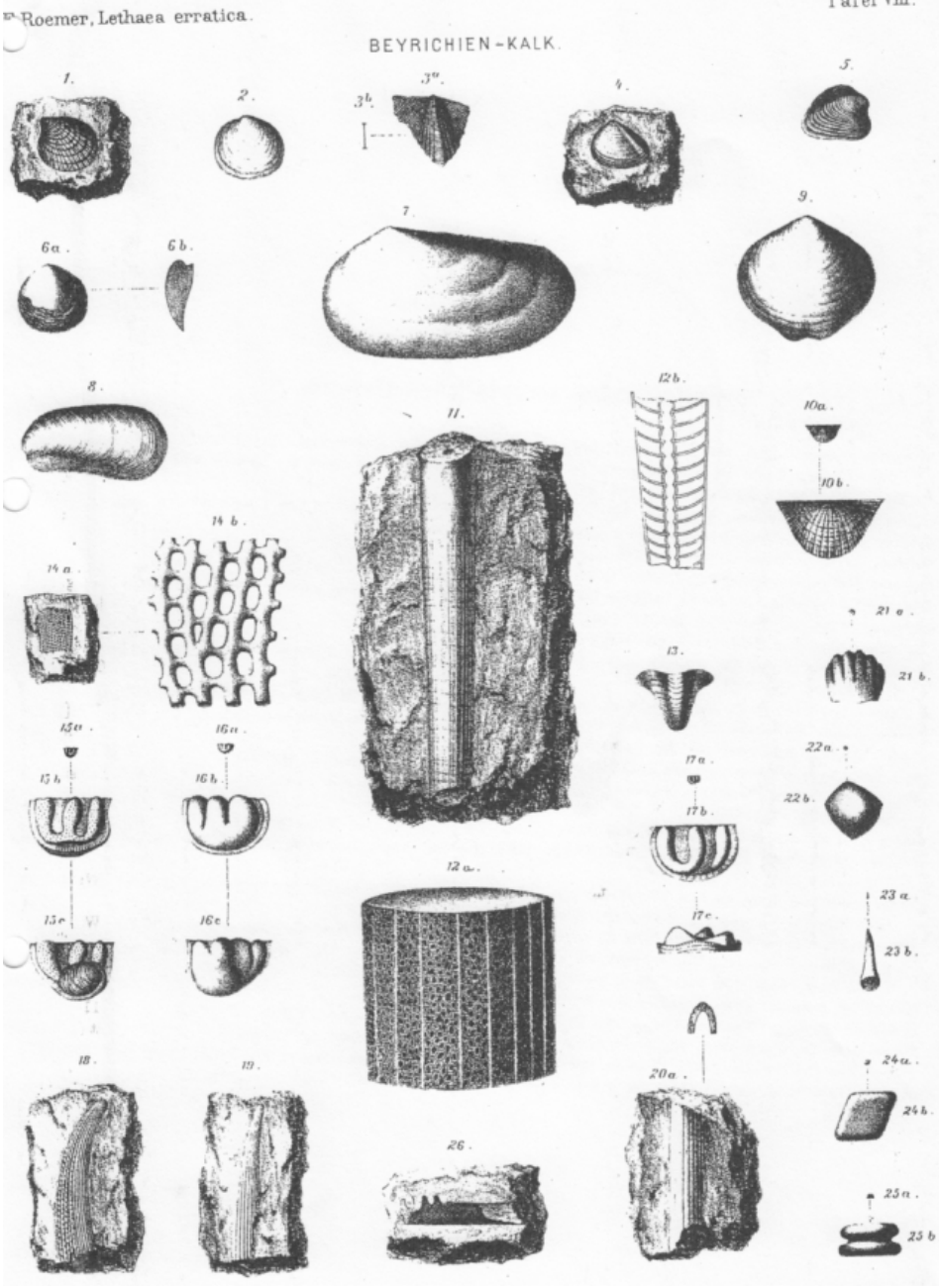
Fig. 18. *Bellerophon* sp. von Lerchenborn (pag. 126 [373]).

Fig. 19. *Pholidophyllum tubulatum* LINNSTRÖM (?) von Lerchenborn (pag. 119 [366]).

Fig. 20. *Cornulites scalariformis* VINE, Stück des unteren Endes von Lerchenborn (pag. 128 [375]).

Fig. 21. *Loxonema aciculare* FERD. ROEMER, Steinchen von Lerchenborn (pag. 125 [372]).

Fig. 22a. *Sagenaella gracilis* HEIDENHAIN von Berlin, in natürlicher Größe; 22b. ein Stück des Stockes vergrössert. Kopien nach HEIDENHAIN (pag. 122 [369]).



Tafel VIII.

Grünlichgraues Graptolithen-Gestein.

20

Fig. 1a. *Orthoceras gregarium* Sow., von Nieder-Kunzendorf, das obere die Wohnkammer begreifende und gewöhnlich nur allein erhaltene Ende; die fein quergestreite Schale ist erhalten; 1b. Ansicht einer Kammerwand mit dem centralen Siphon; 1c. jüngeres Exemplar (pag. 126 [373]).

Fig. 2a. *Dalmania caudata* BRÖNCKE, Kopfschild von Nieder-Kunzendorf; 2b. Pygidium von Lerchenborn (pag. 128 [375]).

Fig. 3. *Cardiola fibrosa* Sow., von Lerchenborn (pag. 122 [369]).

Fig. 4. *Cardiola interrupta* BRÖNCKE, Kopfschild von Berlin (pag. 122 [369]).

Fig. 5. *Calymene Blumenbachii* BRÖNCKE, Kopfschild von Nieder-Kunzendorf (pag. 128 [375]).

Fig. 6. *Monograptus Ladensis* MURCHISON, mehrere Exemplare auf einem Geschiebe von Rostock (pag. 116 [363]).

Fig. 7. *Monograptus* sp., von Meseritz (pag. 117 [364]).

Fig. 8. *Monograptus* sp., Geschiebe von Nieder-Kunzendorf (pag. 118 [365]).

Fig. 9a. *Cyrtina exporrecta* DAVIDSON, Ansicht gegen die Axis; 9b. Ansicht von der Seite, Geschiebe von Lerchenborn bei Lüben (pag. 119 [366]).

Fig. 10. *Orthoceras annulatum* Sow., Steinkern in einem Geschiebe von Rosenberg in West-Preussen (pag. 126 [373]).

Fig. 11a. *Glossia obovata* DAVIDSON, Ansicht auf die undurchbohrte Klappe; 11b. auf die durchbohrte Klappe; 11c. von der Seite;

11d. Ansicht des Innern mit den Spiralfäden (pag. 119 [366]).

Fig. 12. *Bellerophon expansus* Sow., grosses Exemplar vom Kreuzberge bei Berlin (pag. 125 [372]).

Fig. 13a. *Monograptus scanicus* TULLBERG, zahlreiches Exemplare auf einem Geschiebe von Lerchenborn; 13b. ein Exemplar vergrössert (pag. 117 [364]).

Fig. 14a. *Monograptus* sp., auf einem Geschiebe von Danzig; 14b. ein Exemplar vergrössert (pag. 118 [365]).

Fig. 15. *Reticulites Giniuzianus* BARRANDE, unvollständiges Exemplar in einem Geschiebe von Polkwitz bei Glogau, Schlesien (pag. 118 [365]).

Fig. 16a. *Lepaena depressa* DALMAN von Lerchenborn, sehr kleine Varietät; Ansicht gegen die durchbohrte, 16b. auf die undurchbohrte Klappe; 16c. Vertical-Durchschnitt (pag. 121 [368]).

Fig. 17a. *Pleurotomaria exensa* HEIMENHAIN von Kreuzberge bei Berlin, die gewöhnliche Form mit freien in conischer Spirale gewundenen Umgängen; 17b. Varietät mit sich berührenden Umgängen; 17c. Varietät mit einem einzigen, in derselben Ebene liegenden, hakenförmig gekrümmten Umgange (pag. 124 [371]).

Fig. 18. *Marchionia articulata* Sow., Steinkern von Lerchenborn (pag. 125 [372]).

Fig. 19. *Orthoceras angulatum* WAHLBERG, junges Exemplar von Nieder-Kunzendorf (pag. 127 [374]).

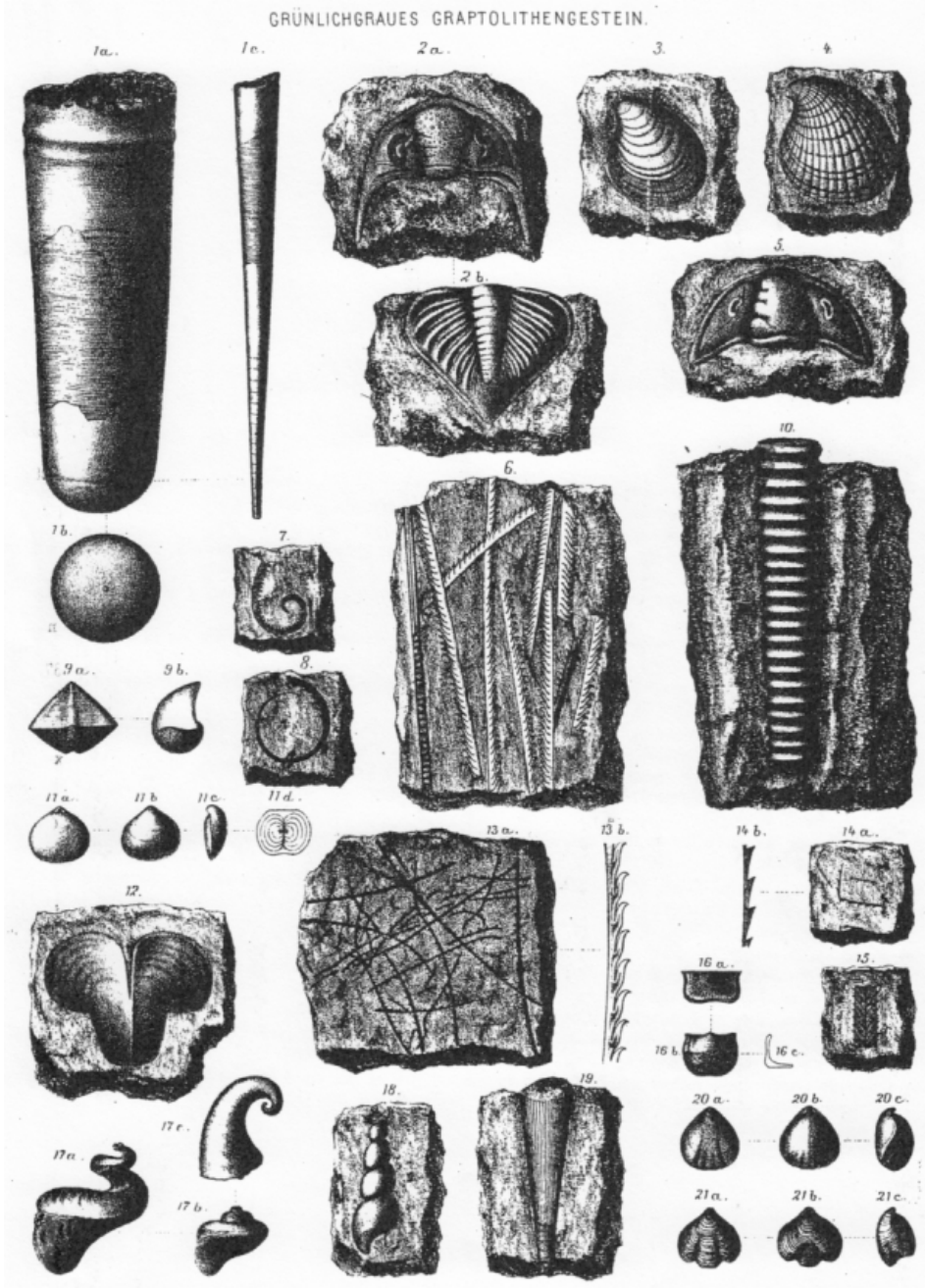
Fig. 20a. *Rhynchonella* sp., durchbohrte, 20b. undurchbohrte Klappe; 20c. Seitenansicht (pag. 120 [367]).

Fig. 21a. *Rhynchonella* (?) *trilobula* FERD. ROMER, durchbohrte Klappe; 21b. undurchbohrte Klappe; 21c. Seitenansicht (pag. 120 [367]).

(Im Texte durch einen Druckfehler irrtümlicher Weise als *Rhynchonella trilobata* bezeichnet).

21

F. Roemer, *Lethaea erratica*.



Tafel IX.